ВЛИЯНИЕ КОНСТРУКТИВНЫХ И РЕЖИМНЫХ ФАКТОРОВ НА ПАРАМЕТРЫ И ПОКАЗАТЕЛИ ДВС

ВЛИЯНИЕ ТИПА ДВИГАТЕЛЯ (ДИЗЕЛЬ/ДСИЗ)

ВЛИЯНИЕ ОТНОШЕНИЯ ХОДА ПОРШНЯ К ДИАМЕТРУ ЦИЛИНДРА

ВЛИЯНИЕ ДЕЗАКСАЖА

ВЛИЯНИЕ РЕЖИМНЫХ ФАКТОРОВ

Конструкция КШМ существенным образом влияет на характеристики ДВС такие как: степень его форсированности, габариты, массу, надежность и т.д.

Рассмотрим механизм влияния на параметры ДВС основных конструктивных соотношений в его КШМ: коэффициента $\lambda = r/l_{\rm III}$, коэффициента короткоходности K=S/D и дезаксажа а.

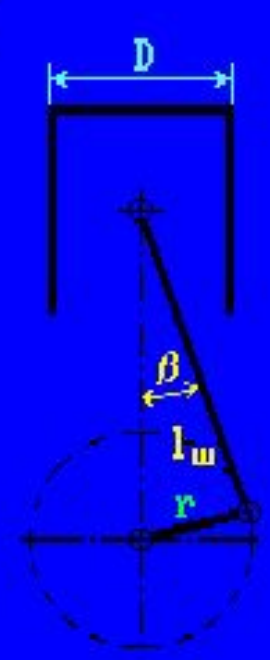


Анализ влияния λ на параметры ДВС. Условия сравнения: радиус кривошипа r =const; диаметр цилиндра D=const λ — критерий кинематического подобия КШМ

$$\lambda = \frac{\mathbf{r}}{l_{\mathbf{m}}}$$

 $l_{\mathbf{m}}$ – длина шатуна

$$\lambda = 0,24...0,31$$



Анализ влияния λ на параметры ДВС. Условия сравнения: радиус кривошипа r =const; диаметр цилиндра D=const λ — критерий кинематического подобия КШМ

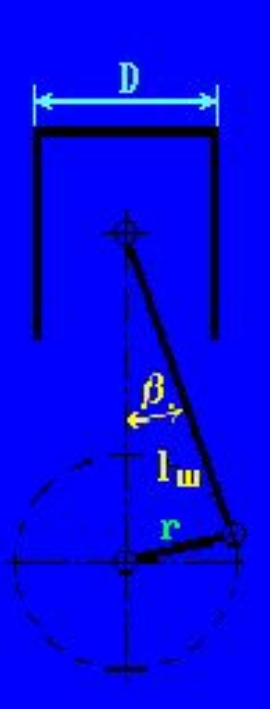
$$\lambda = \frac{\mathbf{p}}{l_{\mathbf{m}}}$$

 $l_{\mathbf{m}}$ - длина шатуна

$$\lambda = 0,24...0,31$$







Анализ влияния λ на параметры ДВС. Условия сравнения: радиус кривошипа \mathbf{r} =const; диаметр цилиндра \mathbf{D} =const λ — критерий кинематического подобия КШМ

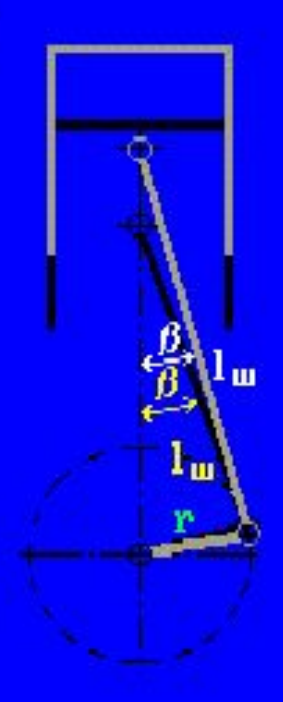
$$\lambda = \frac{\mathbf{r}}{l_{\mathbf{m}}}$$

 $l_{\mathbf{m}}$ – длина шатуна

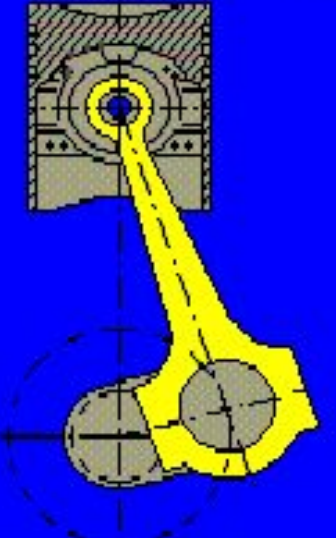
$$\lambda = 0,24...0,31$$







Анализ влияния λ на параметры ДВС. Условия сравнения: радиче кривошипа \mathbf{r} =const; диаметр цилиндра \mathbf{D} =const λ — критерий кинематического подобия КШМ

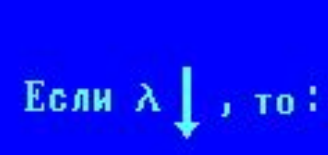


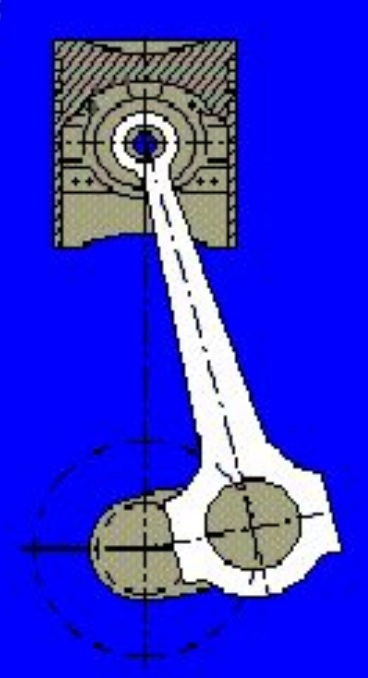
$$\lambda = \frac{\mathbf{r}}{l_{\mathbf{m}}}$$

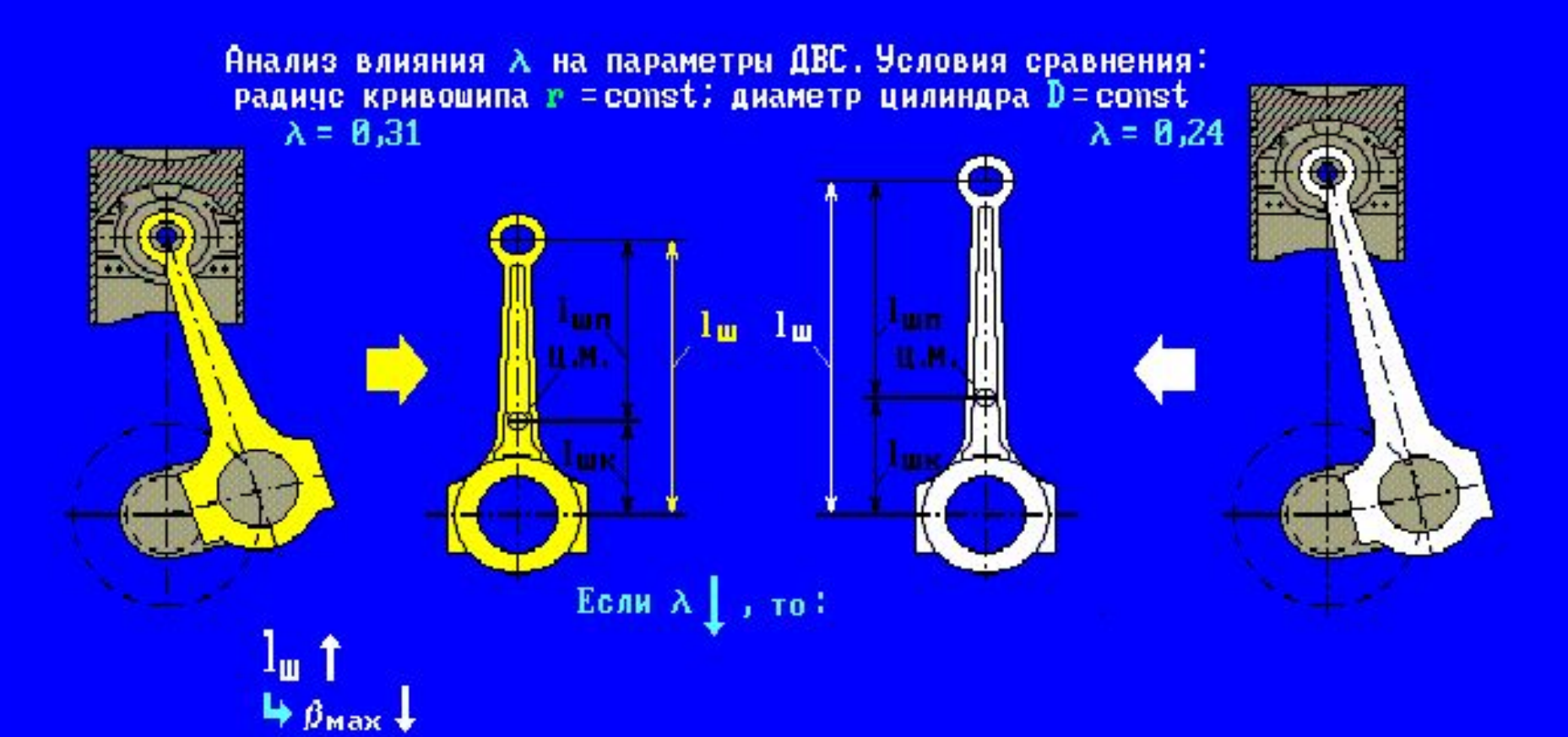
 $l_{\mathbf{m}}$ – длина шатуна

$$\lambda = 0,24...0,31$$

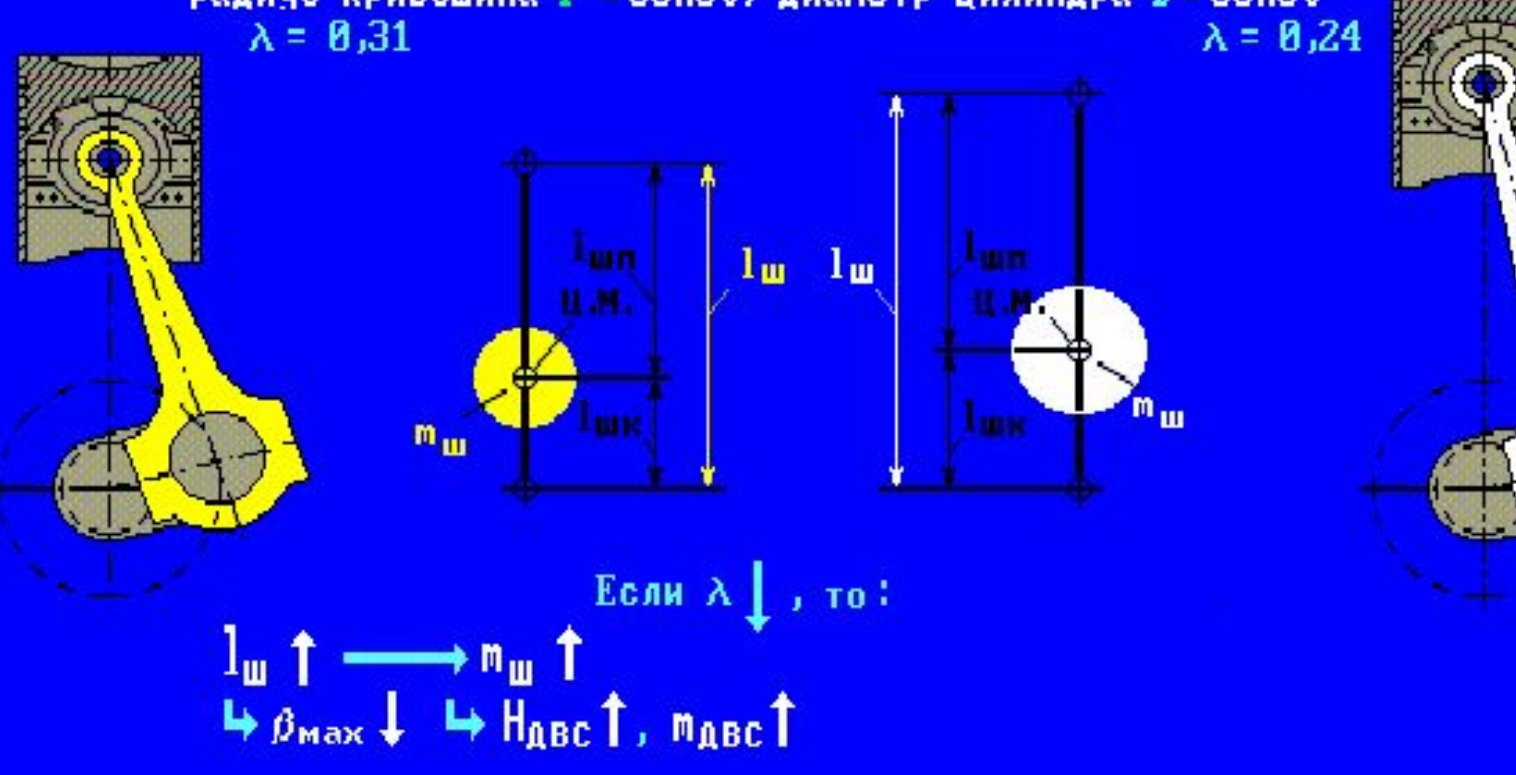


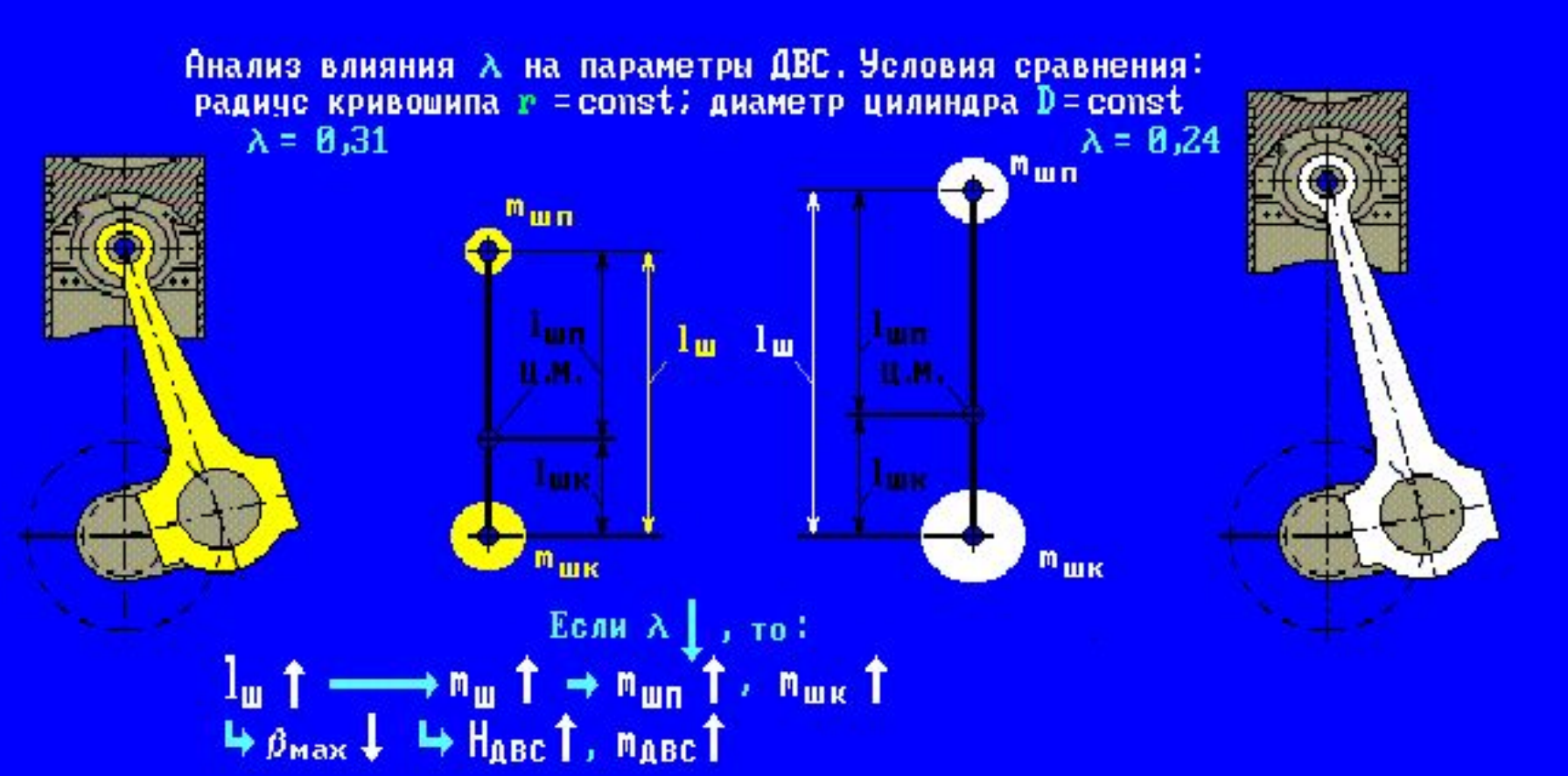




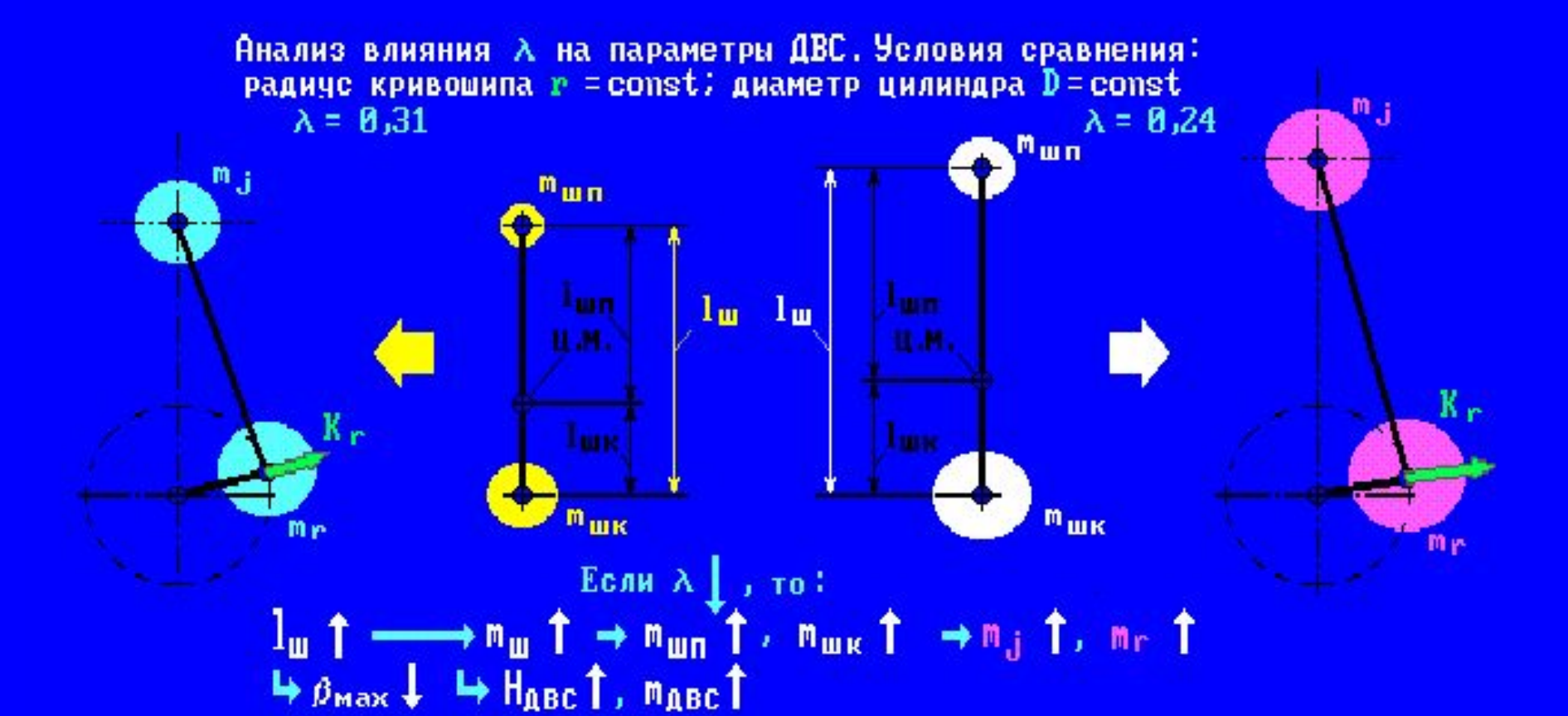


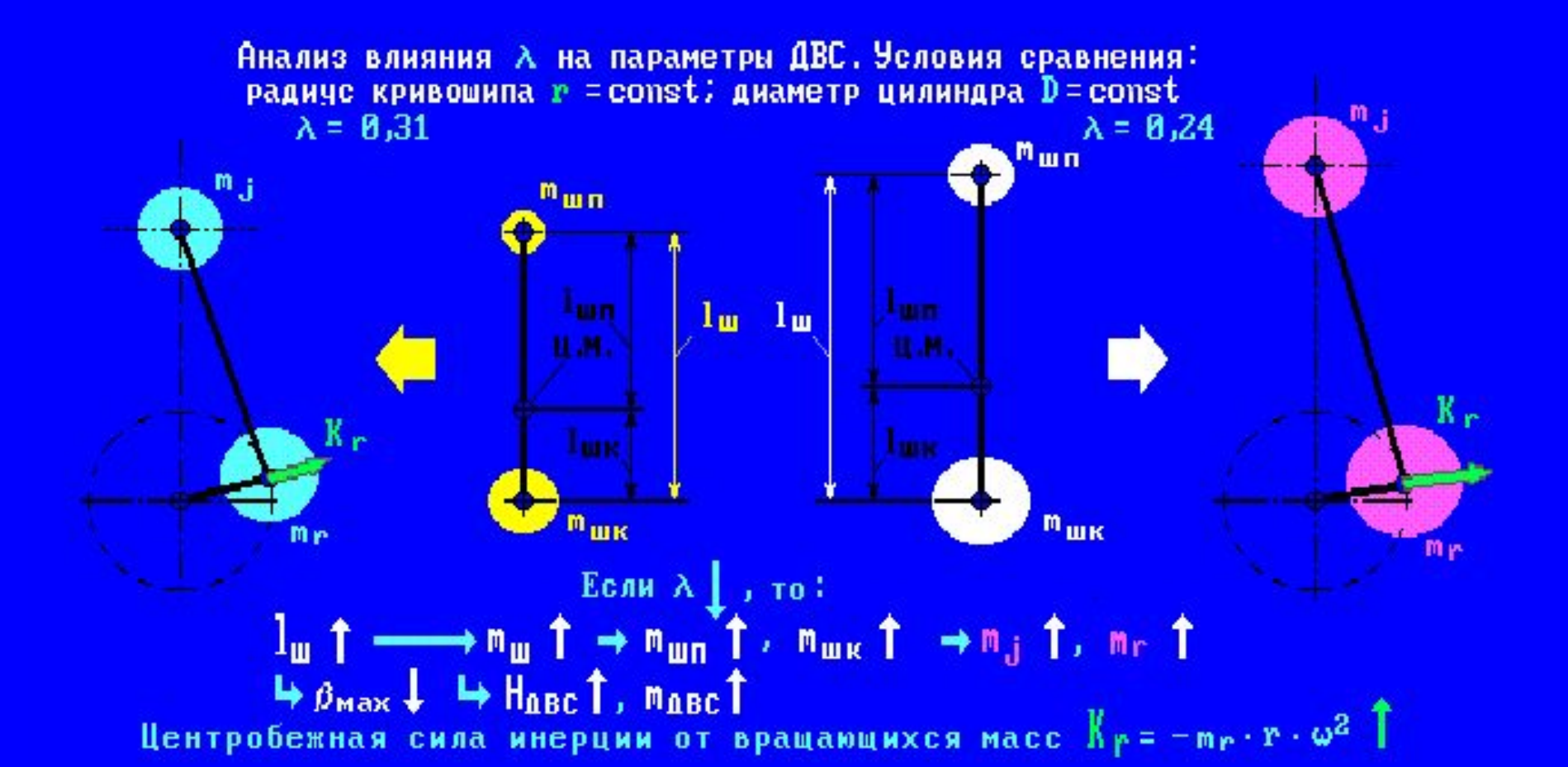
Анализ влияния λ на параметры ДВС. Условия сравнения: радиче кривошипа \mathbf{r} =const; диаметр цилиндра \mathbf{D} =const













Центробежная сила инерции от вращающихся масс $K_{\Gamma} = -m_{\Gamma} \cdot \mathbf{r} \cdot \omega^2$ Т Ее рост можно скомпенсировать увеличением массы противовесов.



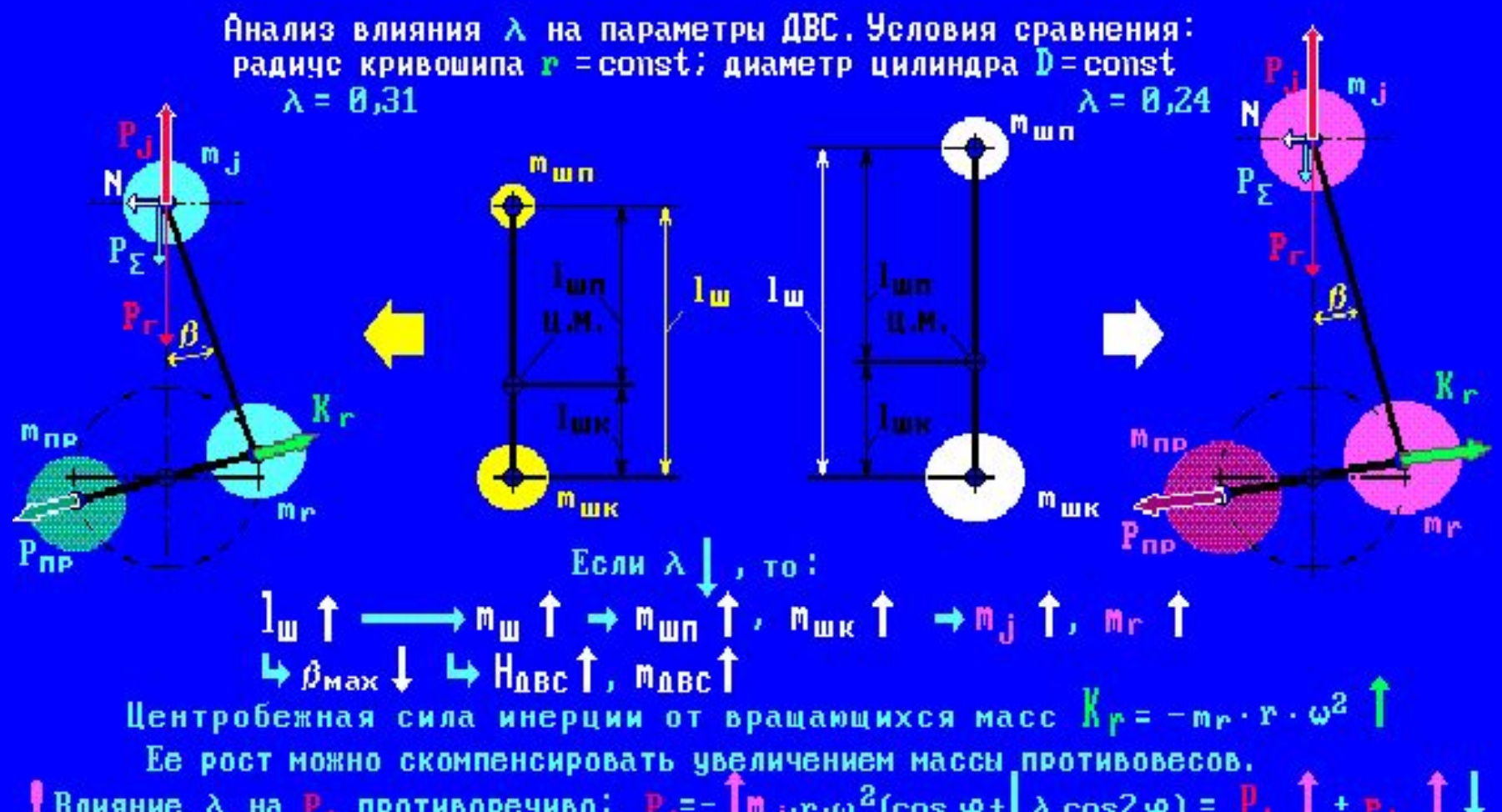
Центробежная сила инерции от вращающихся масс $K_{\Gamma} = -m_{\Gamma} \cdot \mathbf{r} \cdot \omega^2$ Т Ее рост можно скомпенсировать увеличением массы противовесов.

Влияние λ на 📭 противоречиво:

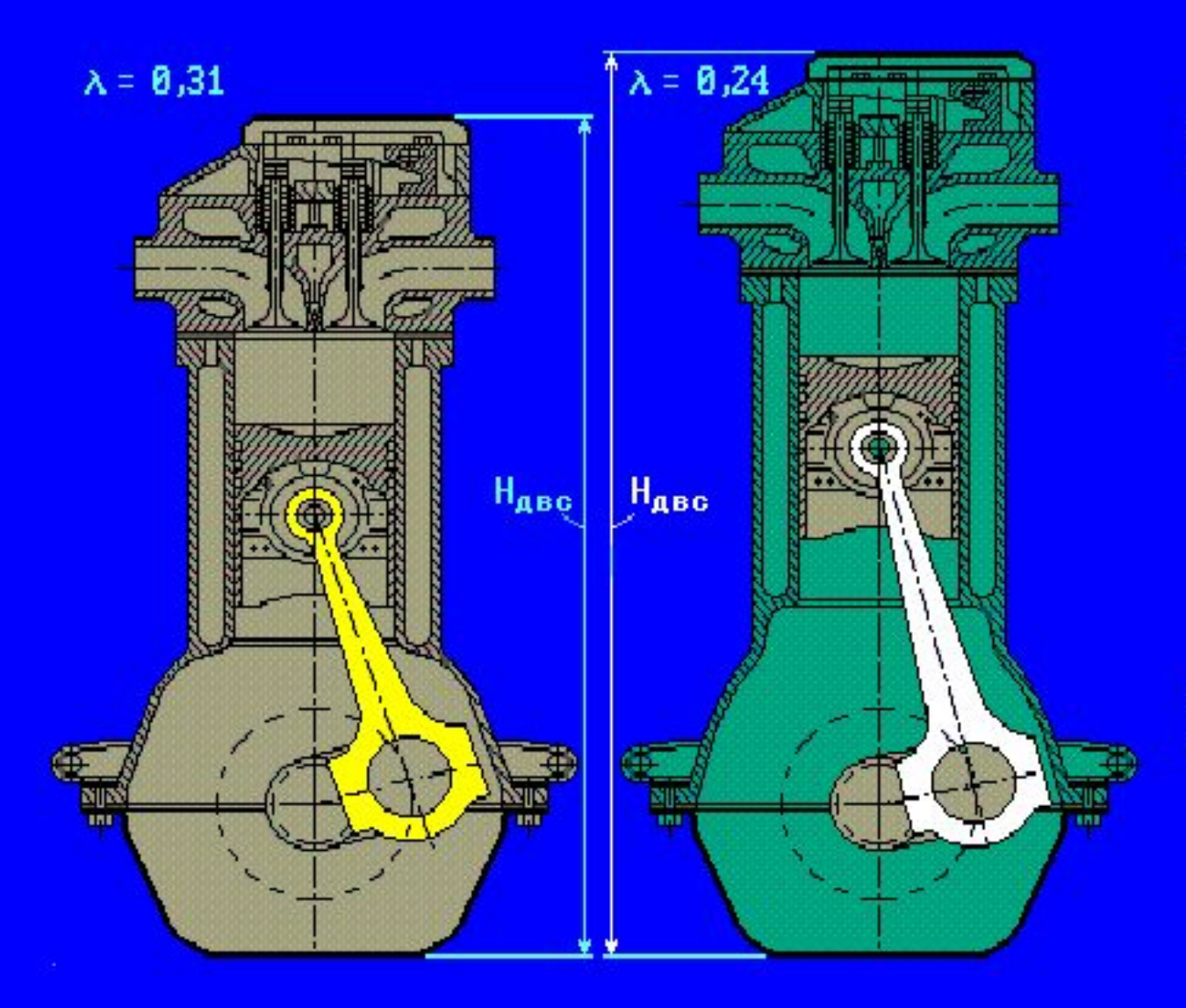








Влияние λ на P_j противоречиво: $P_j = - \int_{\mathbb{R}_j \cdot \mathbf{r} \cdot \omega^2} (\cos \varphi + \lambda \cos 2\varphi) = P_{ji} \int_{\mathbb{R}_j \cdot \mathbf{r}} \int_{\mathbb{R}_j \cdot \mathbf{r} \cdot \omega^2} (\cos \varphi + \lambda \cos 2\varphi) = P_{ji} \int_{\mathbb{R}_j \cdot \mathbf{r} \cdot \omega^2} \int_{\mathbb{R}_j \cdot \mathbf{r} \cdot \omega^2} (\cos \varphi + \lambda \cos 2\varphi) = P_{ji} \int_{\mathbb{R}_j \cdot \mathbf{r} \cdot \omega^2} \int_{\mathbb{R}_j \cdot \mathbf{r} \cdot \omega^2} (\cos \varphi + \lambda \cos 2\varphi) = P_{ji} \int_{\mathbb{R}_j \cdot \mathbf{r} \cdot \omega^2} \int_{\mathbb{R}_j \cdot \mathbf{r} \cdot \omega^2} (\cos \varphi + \lambda \cos 2\varphi) = P_{ji} \int_{\mathbb{R}_j \cdot \mathbf{r} \cdot \omega^2} \int_{\mathbb{R}_j \cdot \mathbf{r} \cdot \omega^2} (\cos \varphi + \lambda \cos 2\varphi) = P_{ji} \int_{\mathbb{R}_j \cdot \mathbf{r} \cdot \omega^2} \int_{\mathbb{R}_j \cdot \mathbf{r} \cdot \omega^2} (\cos \varphi + \lambda \cos 2\varphi) = P_{ji} \int_{\mathbb{R}_j \cdot \mathbf{r} \cdot \omega^2} \int_{\mathbb{R}_j \cdot \mathbf{r} \cdot \omega^2} (\cos \varphi + \lambda \cos 2\varphi) = P_{ji} \int_{\mathbb{R}_j \cdot \mathbf{r} \cdot \omega^2} \int_{\mathbb{R}_j \cdot \mathbf{r} \cdot \omega^2} (\cos \varphi + \lambda \cos 2\varphi) = P_{ji} \int_{\mathbb{R}_j \cdot \mathbf{r} \cdot \omega^2} \int_{\mathbb{R}_j \cdot \mathbf{r} \cdot \omega^2} (\cos \varphi + \lambda \cos 2\varphi) = P_{ji} \int_{\mathbb{R}_j \cdot \mathbf{r} \cdot \omega^2} \int_{\mathbb{R}_j \cdot \mathbf{r} \cdot \omega^2} (\cos \varphi + \lambda \cos 2\varphi) = P_{ji} \int_{\mathbb{R}_j \cdot \mathbf{r} \cdot \omega^2} \int_{\mathbb{R}_j \cdot \mathbf{r} \cdot \omega^2} (\cos \varphi + \lambda \cos 2\varphi) = P_{ji} \int_{\mathbb{R}_j \cdot \mathbf{r} \cdot \omega^2} \int_{\mathbb{R}_j \cdot \mathbf{r} \cdot \omega^2} (\cos \varphi + \lambda \cos 2\varphi) = P_{ji} \int_{\mathbb{R}_j \cdot \mathbf{r} \cdot \omega^2} \int_{\mathbb{R}_j \cdot \mathbf{r} \cdot \omega^2} (\cos \varphi + \lambda \cos 2\varphi) = P_{ji} \int_{\mathbb{R}_j \cdot \mathbf{r} \cdot \omega^2} \int_{\mathbb{R}_j \cdot \mathbf{r} \cdot \omega^2} (\cos \varphi + \lambda \cos 2\varphi) = P_{ji} \int_{\mathbb{R}_j \cdot \mathbf{r} \cdot \omega^2} (\cos \varphi + \lambda \cos 2\varphi) = P_{ji} \int_{\mathbb{R}_j \cdot \omega^2} \int_{\mathbb{R}_j \cdot \omega^2} (\cos \varphi + \lambda \cos 2\varphi) = P_{ji} \int_{\mathbb{R}_j \cdot \omega^2} \int_{\mathbb{R}_j \cdot \omega^2} (\cos \varphi + \lambda \cos 2\varphi) = P_{ji} \int_{\mathbb{R}_j \cdot \omega^2} (\cos \varphi + \lambda \cos 2\varphi) = P_{ji} \int_{\mathbb{R}_j \cdot \omega^2} (\cos \varphi + \lambda \cos 2\varphi) = P_{ji} \int_{\mathbb{R}_j \cdot \omega^2} (\cos \varphi + \lambda \cos 2\varphi) = P_{ji} \int_{\mathbb{R}_j \cdot \omega^2} (\cos \varphi + \lambda \cos 2\varphi) = P_{ji} \int_{\mathbb{R}_j \cdot \omega^2} (\cos \varphi + \lambda \cos 2\varphi) = P_{ji} \int_{\mathbb{R}_j \cdot \omega^2} (\cos \varphi + \lambda \cos 2\varphi) = P_{ji} \int_{\mathbb{R}_j \cdot \omega^2} (\cos \varphi + \lambda \cos 2\varphi) = P_{ji} \int_{\mathbb{R}_j \cdot \omega^2} (\cos \varphi + \lambda \cos 2\varphi) = P_{ji} \int_{\mathbb{R}_j \cdot \omega^2} (\cos \varphi + \lambda \cos 2\varphi) = P_{ji} \int_{\mathbb{R}_j \cdot \omega^2} (\cos \varphi + \lambda \cos 2\varphi) = P_{ji} \int_{\mathbb{R}_j \cdot \omega^2} (\cos \varphi + \lambda \cos 2\varphi) = P_{ji} \int_{\mathbb{R}_j \cdot \omega^2} (\cos \varphi + \lambda \cos 2\varphi) = P_{ji} \int_{\mathbb{R}_j \cdot \omega^2} (\cos \varphi + \lambda \cos 2\varphi) = P_{ji} \int_{\mathbb{R}_j \cdot \omega^2} (\cos \varphi + \lambda \cos 2\varphi) = P_{ji} \int_{\mathbb{R}_j \cdot \omega^2} (\cos \varphi + \lambda \cos 2\varphi) = P_{ji} \int_{\mathbb{R}_j \cdot \omega^2} (\cos \varphi + \lambda \cos 2\varphi) = P_{ji} \int_{\mathbb{R}_j \cdot \omega^2} (\cos \varphi + \lambda \cos 2\varphi) = P_{ji} \int_{\mathbb{R}_j \cdot \omega^2} (\cos \varphi + \lambda \cos 2\varphi) = P_{ji} \int_{\mathbb{R}_j \cdot \omega^2} (\cos \varphi + \lambda \cos \varphi) = P_{ji} \int_{\mathbb{R}$



Влияние снижения А Условия сравнения: r = const; D = const

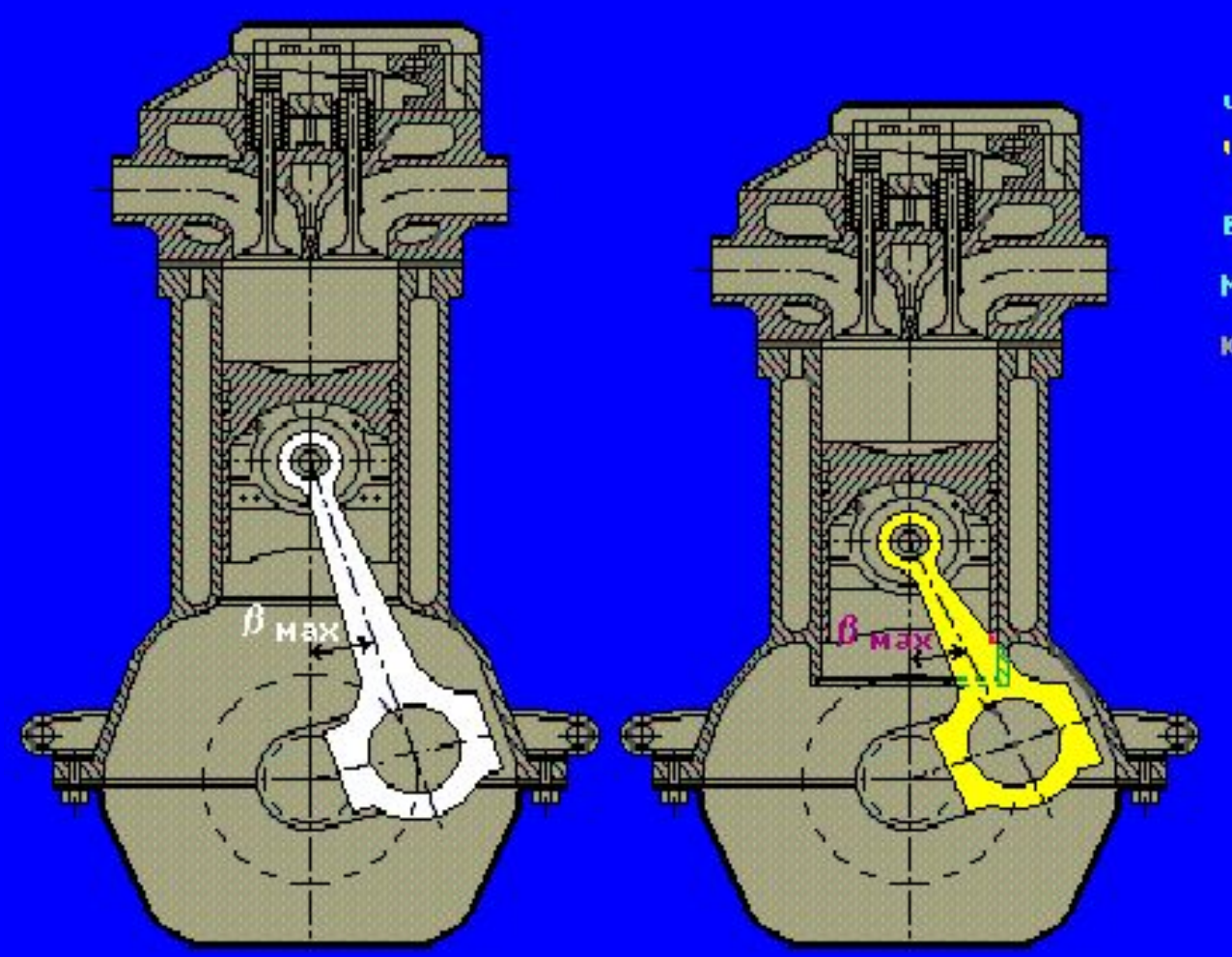
- N↓, уменьшается износ цилиндра;
- Р_{ит} ↓, улучшаются условия работы двигателя,

HO

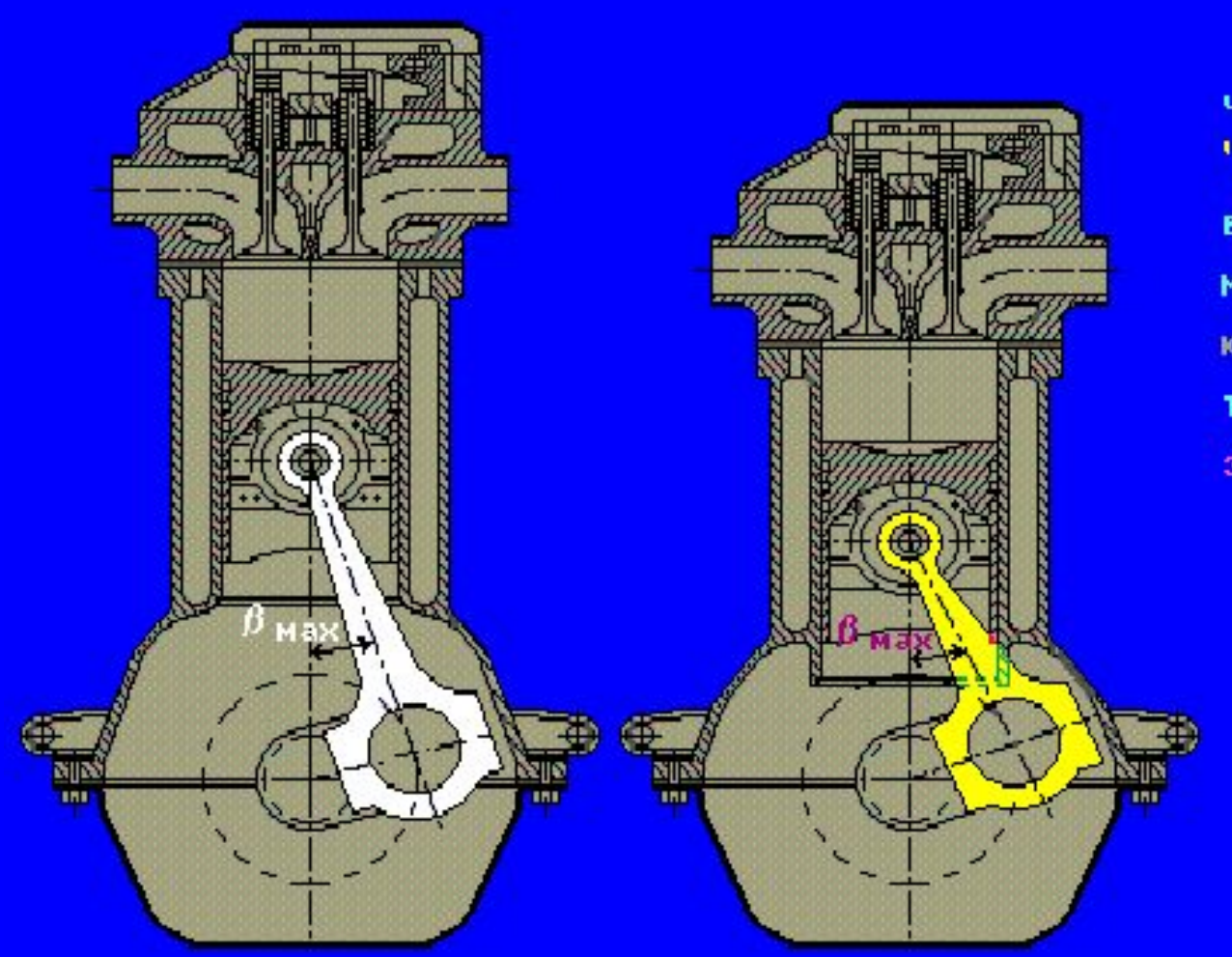
увеличиваются Н_{две}↑, м_{две}↑

Эти три условия определяют выбор Х.

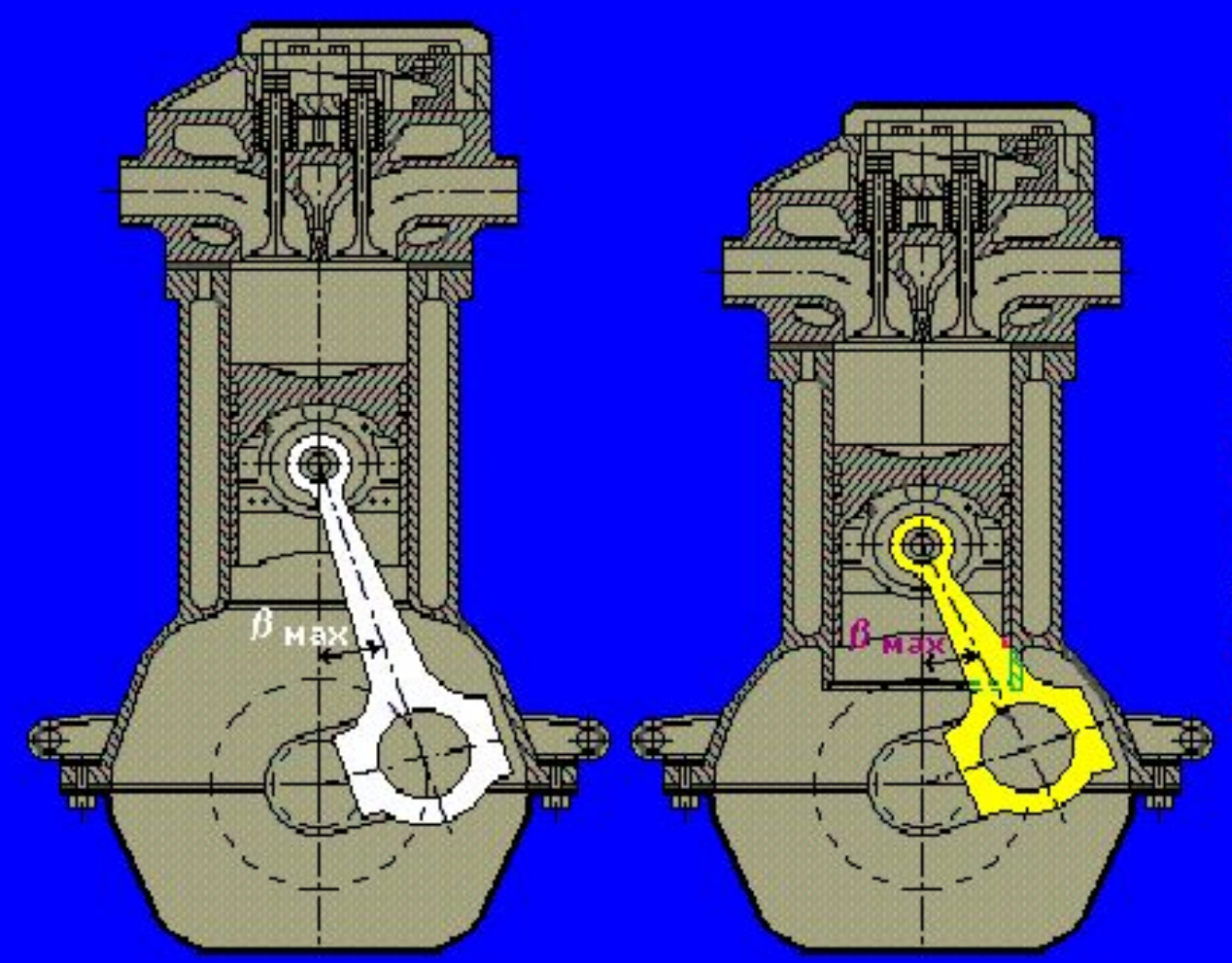
В современных ДВС $\lambda = 0,26...0,28$



Необходимо отметить, что применение "коротких" шатунов в некоторых случаях может усложнять компоновку двигателя,



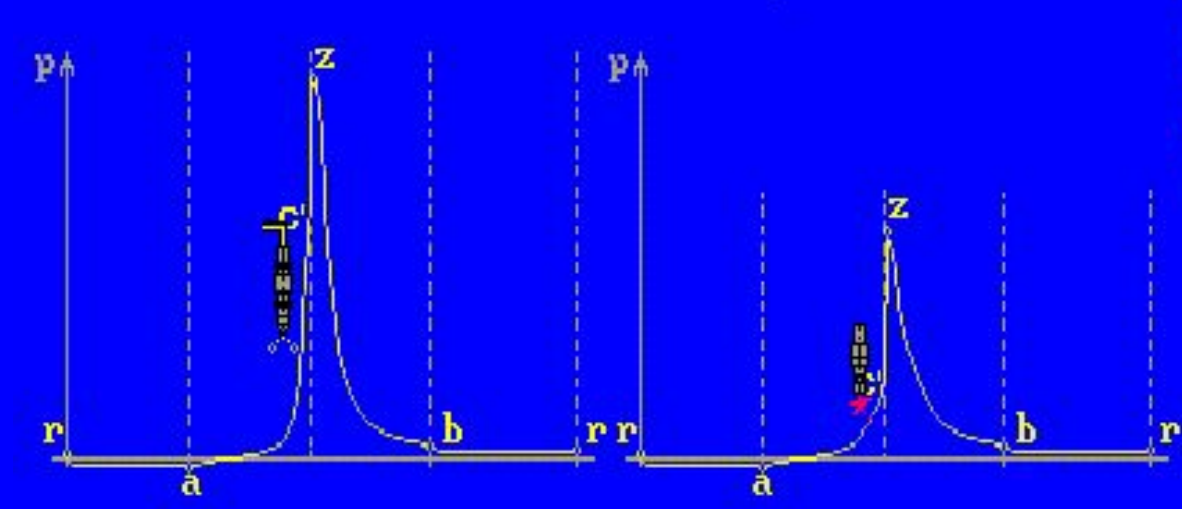
Необходимо отметить, что применение "коротких" шатунов в некоторых случаях может усложнять компоновку двигателя, так как из-за больших значений $\beta_{\text{мах}}$,



Необходимо отметить, что применение "коротких" шатунов в некоторых случаях может усложнять компоновку двигателя, так как из-за больших значений B Max возможно задевание шатуном за нижнюю часть цилиндра или юбку поршия.

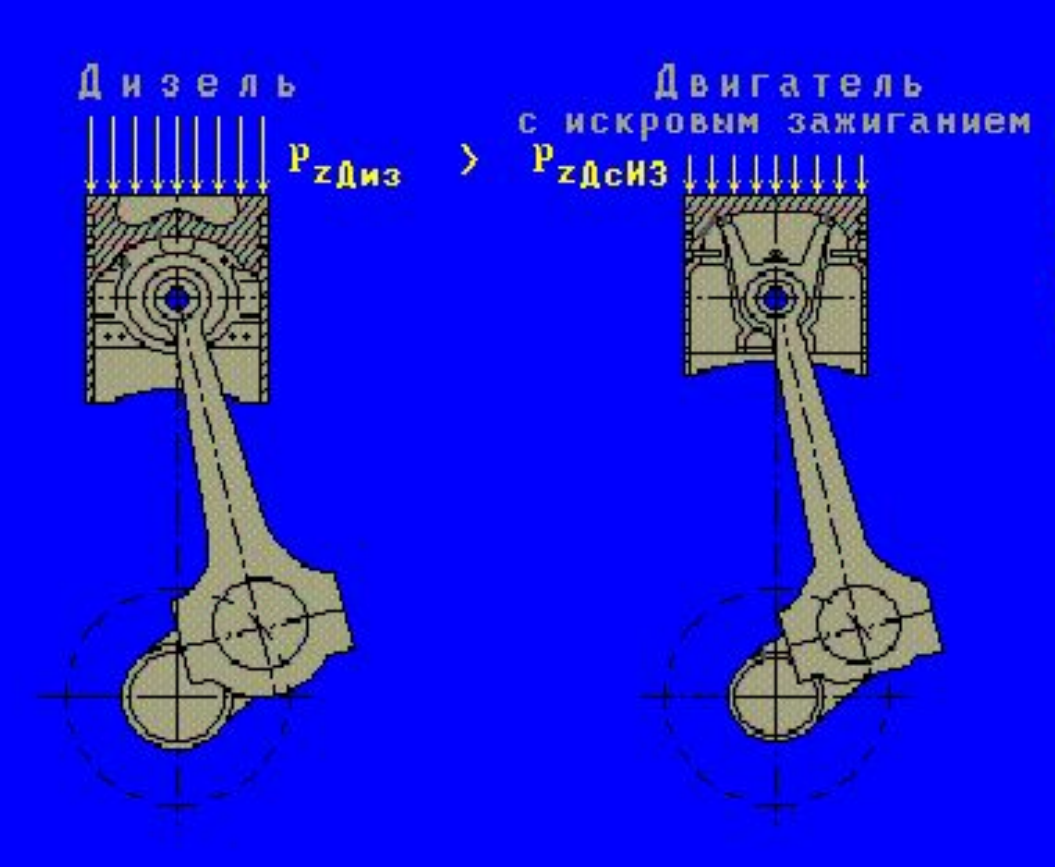
Дизель

Двигатель с искровым зажиганием



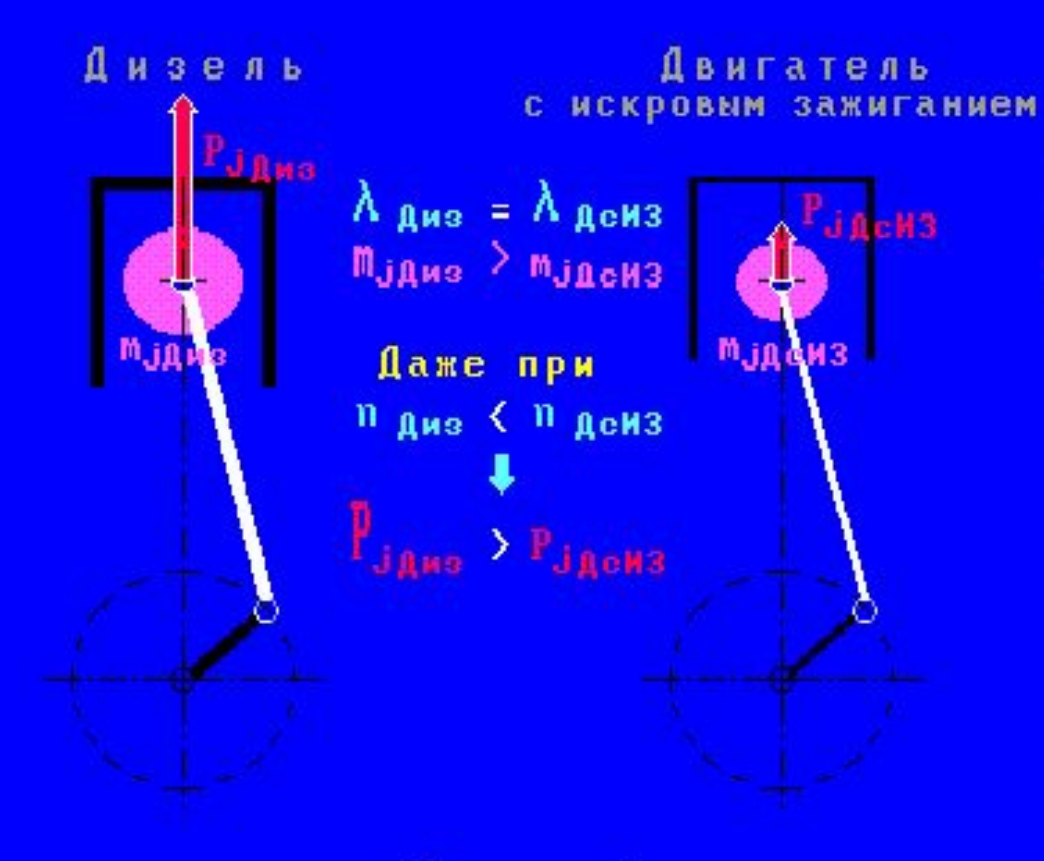
Масса подвижных элементов кривошипно-шатунного механизма в дизеле сравнительно бо́льше, чем в двигателе с искровым зажиганием.

> ! Причина: Р_{идив} > Р_{идонз}



Масса подвижных элементов кривошипно-шатунного механизма в дизеле сравнительно бо́льше, чем в двигателе с искровым зажиганием.

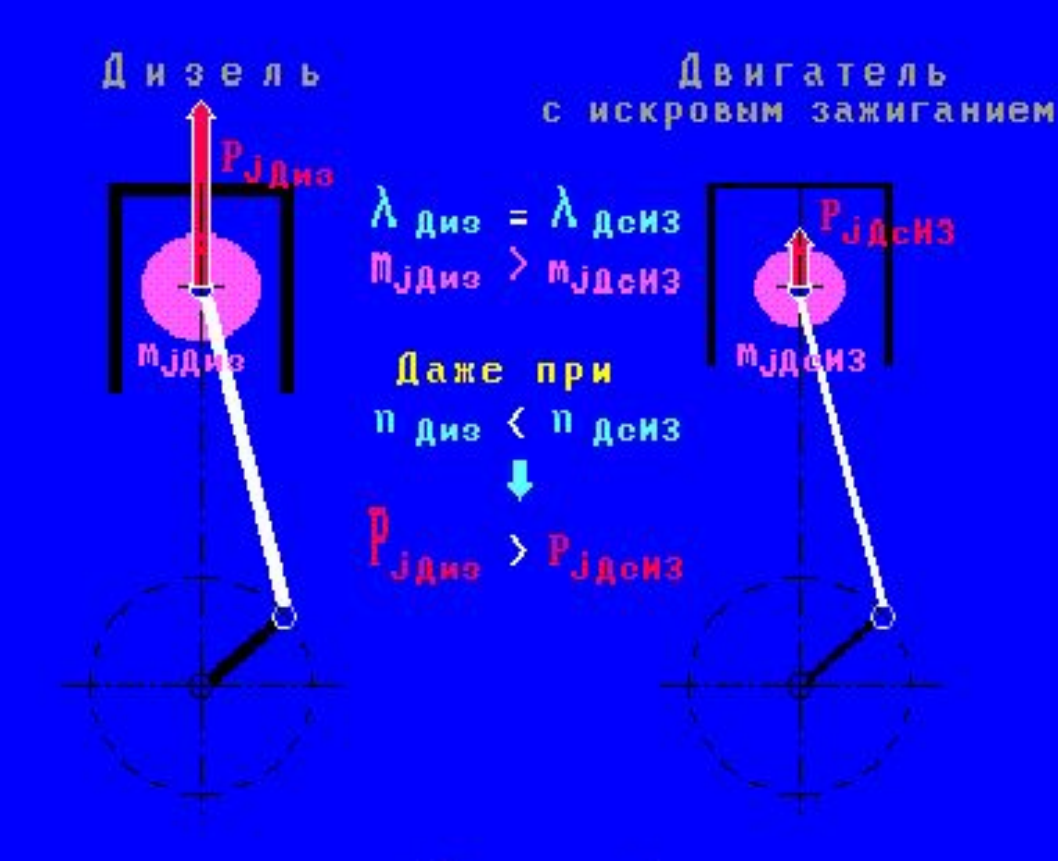
> . Причина: Р_{идиз} > Р_{идоиз}



 $P_j = -m_j \cdot r \cdot \omega^2 (\cos \varphi + \lambda \cos 2\varphi)$

Масса подвижных элементов кривошипно-шатунного механизма в дизеле сравнительно бо́льше, чем в двигателе с искровым зажиганием.

> Причина: Р_{ZДиз} > Р_{ZДоИЗ}



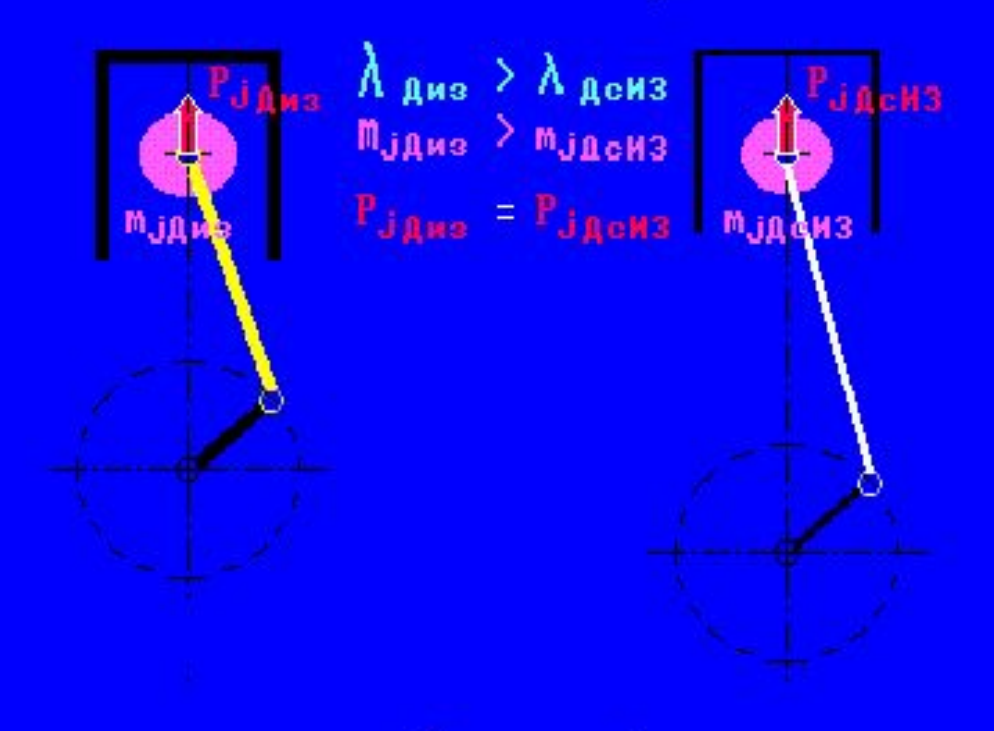
Масса подвижных элементов кривошипно-шатунного механизма в дизеле сравнительно бо́льше, чем в двигателе с искровым зажиганием.

> ! Причина: Р_{ZДиз} > Р_{ZДоИЗ}

$$\begin{split} P_{j} &= -\,m_{j} \cdot \mathbf{r} \cdot \omega^{2}(\cos \,\phi \,+\, \lambda \,\cos \!2\,\phi) \\ &= \,\epsilon_{nu} \,\,\lambda_{\,\,\text{Aus}} \,\, \stackrel{\uparrow}{\downarrow} \,\, \Rightarrow \,\, l_{m} \,\, \Rightarrow \,\, m_{m} \,\, \stackrel{\downarrow}{\downarrow} \,\, \Rightarrow \,\, (m_{n} \,+\, m_{mn} \,\, \stackrel{\downarrow}{\downarrow}) \,\, \Rightarrow \,\, m_{j\,\,\text{Aus}} \,\, \stackrel{\downarrow}{\downarrow} \,\, \Rightarrow \,\, P_{j\,\,\,\text{BeH3}} \,\, \stackrel{\downarrow}{\downarrow} \end{split}$$

Дизель

Двигатель с искровым зажиганием



Масса подвижных элементов кривошипно-шатунного механизма в дизеле сравнительно бо́льше, чем в двигателе с искровым зажиганием.

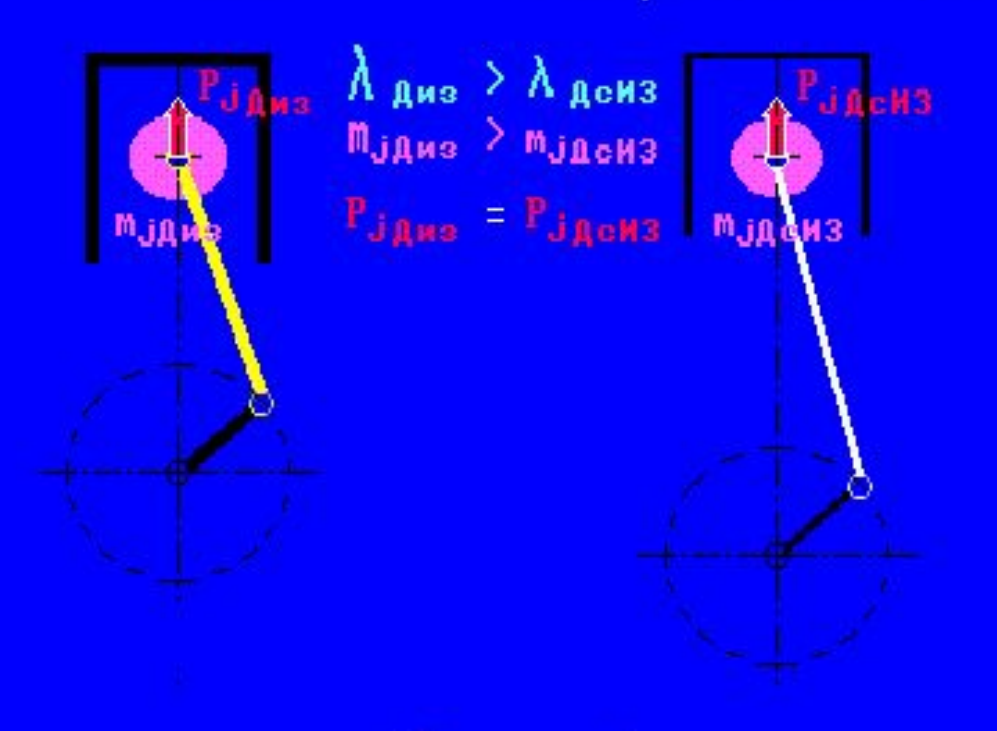
> . Причина: Р_{ZДиз} > Р_{ZДоИЗ}

$$P_{ij} = -m_{ij} \cdot \mathbf{r} \cdot \omega^2 (\cos \varphi + \lambda \cos 2\varphi)$$

Если
$$\lambda_{\text{диз}}$$
 $\uparrow \rightarrow 1_{\text{ш}} \rightarrow m_{\text{ш}} \downarrow \rightarrow (m_{\text{n}} + m_{\text{шn}} \downarrow) \rightarrow m_{\text{јдиз}} \downarrow \rightarrow P_{\text{јденз}} \downarrow$

Дизель

Двигатель с искровым зажиганием



Масса подвижных элементов кривошипно-шатунного механизма в дизеле сравнительно бо́льше, чем в двигателе с искровым зажиганием.

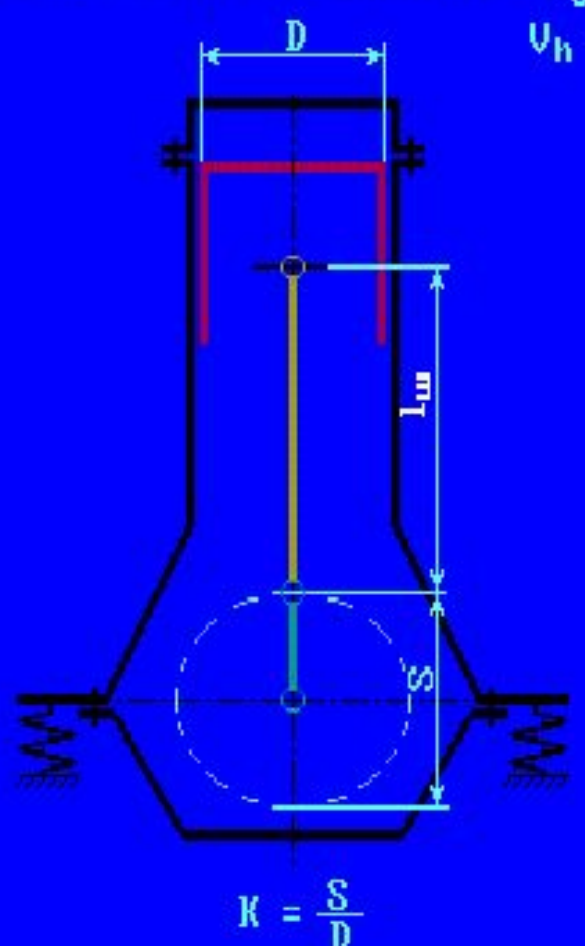
> Причина: Р_{ZДиз} > Р_{ZДоИЗ}

В современных дизелях шатуны, как правило, короче, чем в двигателях с искровым зажиганием.

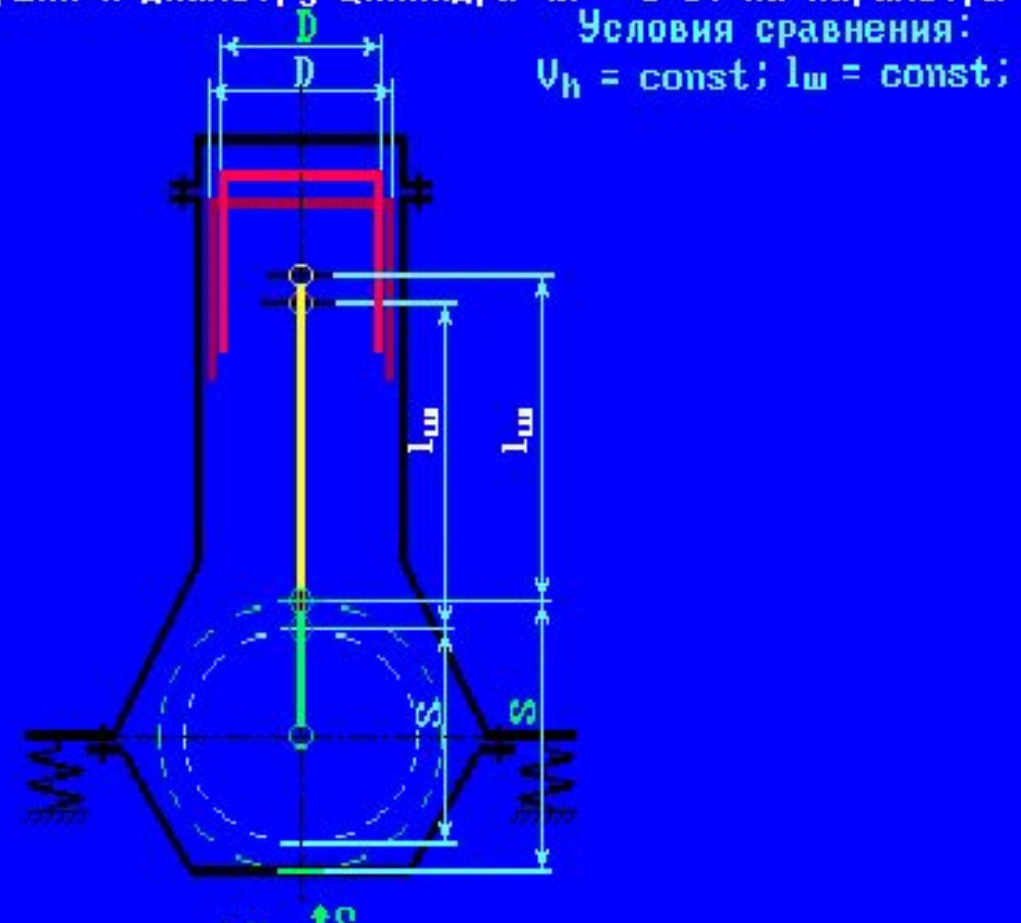
$$\mathbf{P_{d}} = -\mathbf{m_{J}} \cdot \mathbf{r} \cdot \mathbf{\omega}^{2} (\cos \varphi + \lambda \cos 2\varphi)$$

Если
$$\lambda_{\text{диз}} \uparrow \Rightarrow 1_{\text{ш}} \Rightarrow m_{\text{ш}} \downarrow \Rightarrow (m_{\text{n}} + m_{\text{шn}} \downarrow) \Rightarrow m_{\text{јдиз}} \downarrow \Rightarrow P_{\text{јденз}} \downarrow$$

Влияние отношения хода поршня к диаметру цилиндра (K = S/D) на параметры ДВС Условия сравнения: $V_h = const;\ l_w = const;$



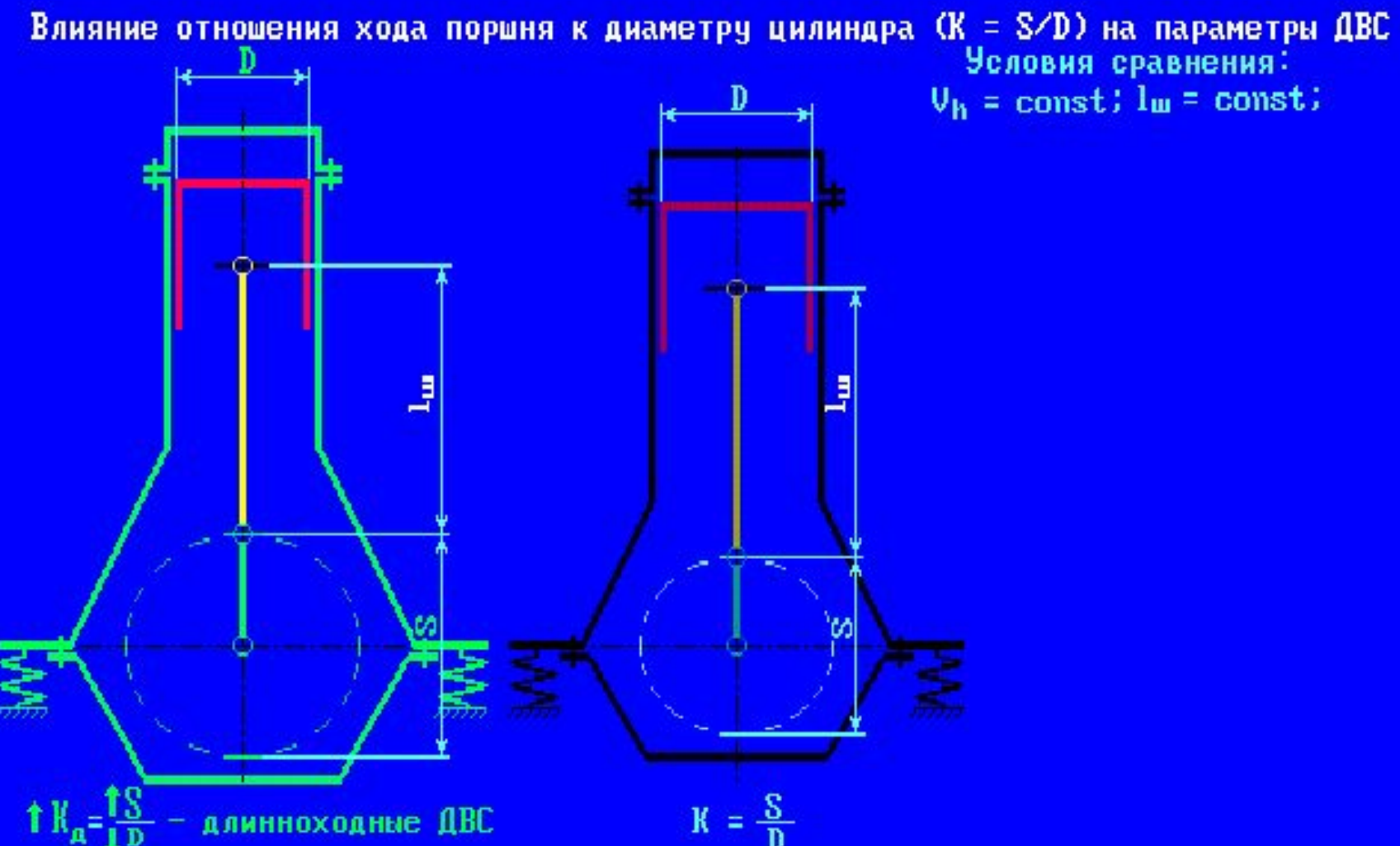
Влияние отношения хода поршня к диаметру цилиндра (K = S/D) на параметры ДВС Условия сравнения: V_h = const; l_m = const;



 $\uparrow K_{\mu} = \frac{\uparrow S}{\downarrow D} = длинноходные ДВС$

Влияние отношения хода поршня к диаметру цилиндра (K = S/D) на параметры ДВС Условия сравнения: $V_h = const;\ l_w = const;$





Влияние отношения хода поршня к диаметру цилиндра (K = S/D) на параметры ДВС Условия сравнения: $V_h = const; l_m = const;$

длинноходные ДВС

$$\downarrow K_{K} = \frac{\downarrow S}{\uparrow]}$$
 -короткоходные ДВС

Влияние отношения хода поршня к диаметру цилиндра (K = S/D) на параметры ДВС Условия сравнения: $V_h = const; l_m = const;$

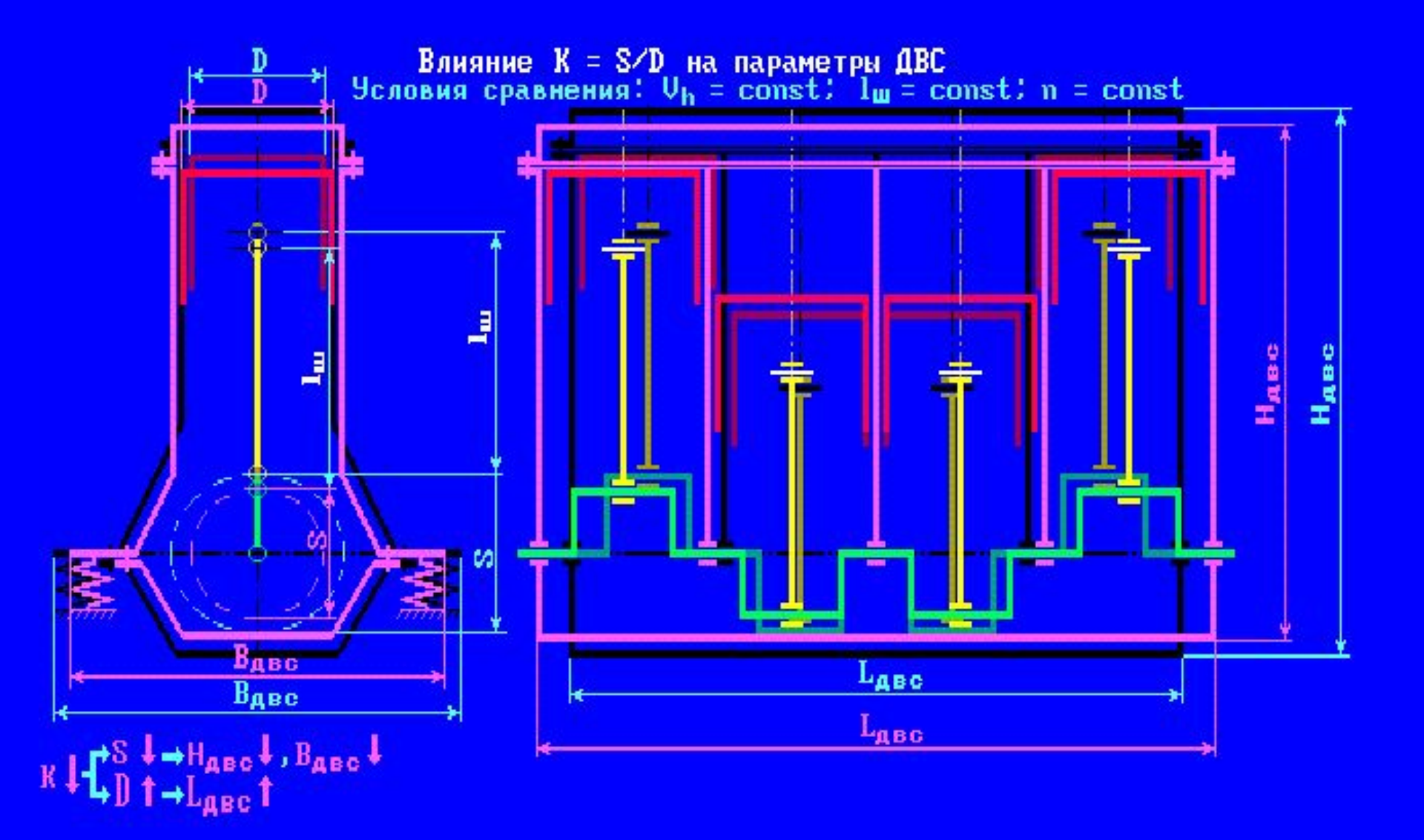
длинноходные ДВС

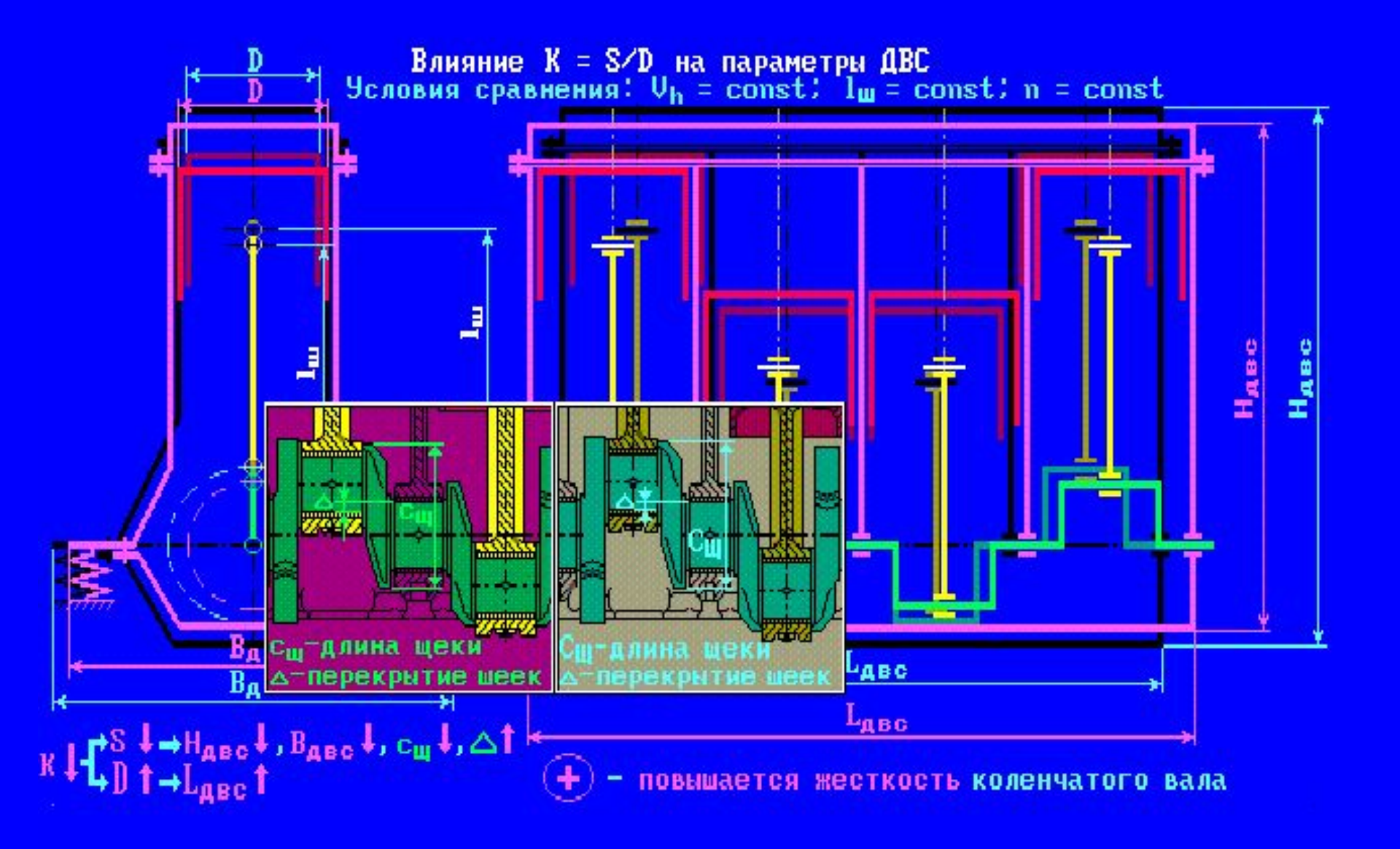
$$\downarrow R_{\kappa} = \frac{\downarrow S}{\uparrow]}$$
 -короткоходные ДВС

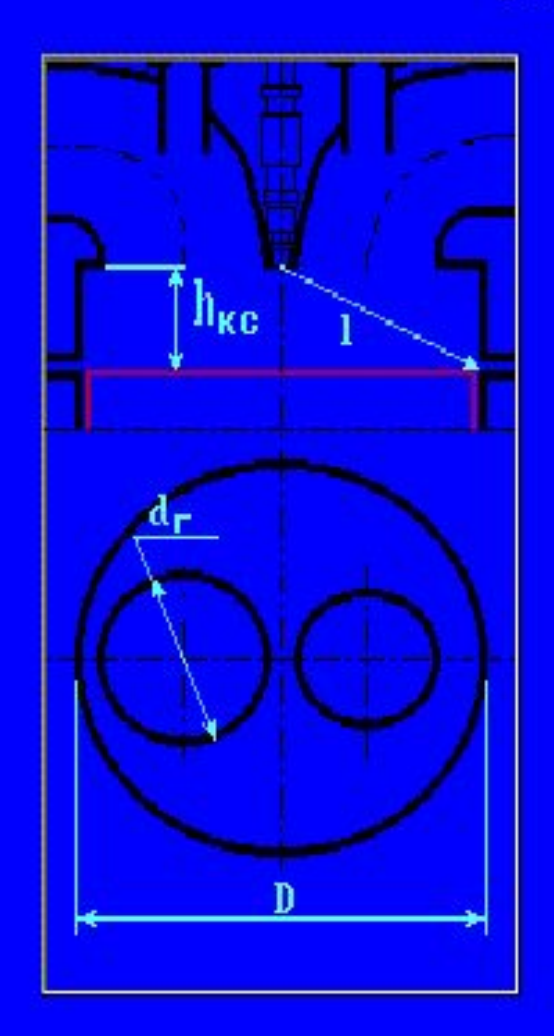
Влияние отношения хода поршня к диаметру цилиндра (K = S/D) на параметры ДВС Условия сравнения: $V_h = const; l_w = const;$

длинноходные ДВС

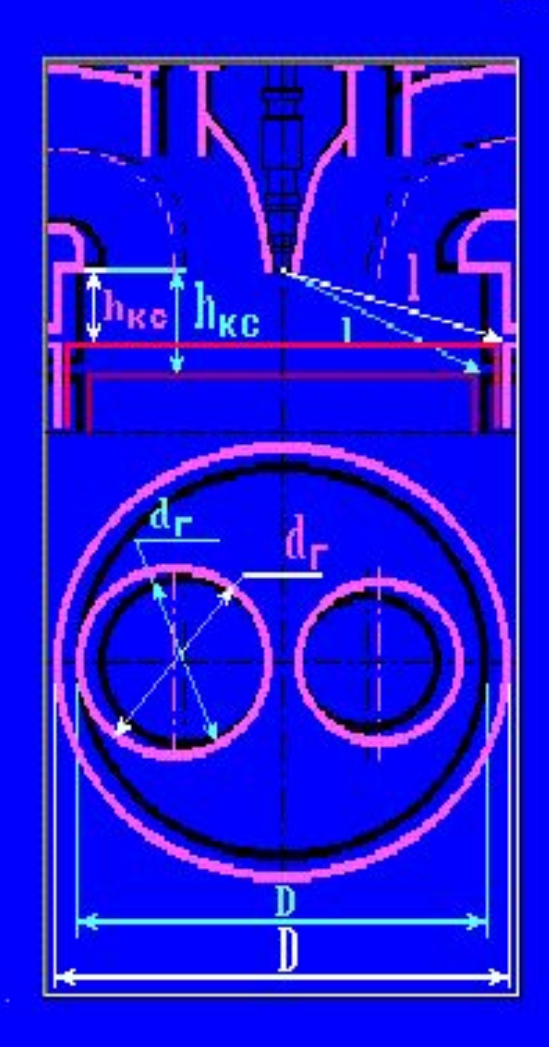
 $\downarrow K_{\kappa} = \frac{\downarrow S}{\uparrow []} - короткоходные ДВС$





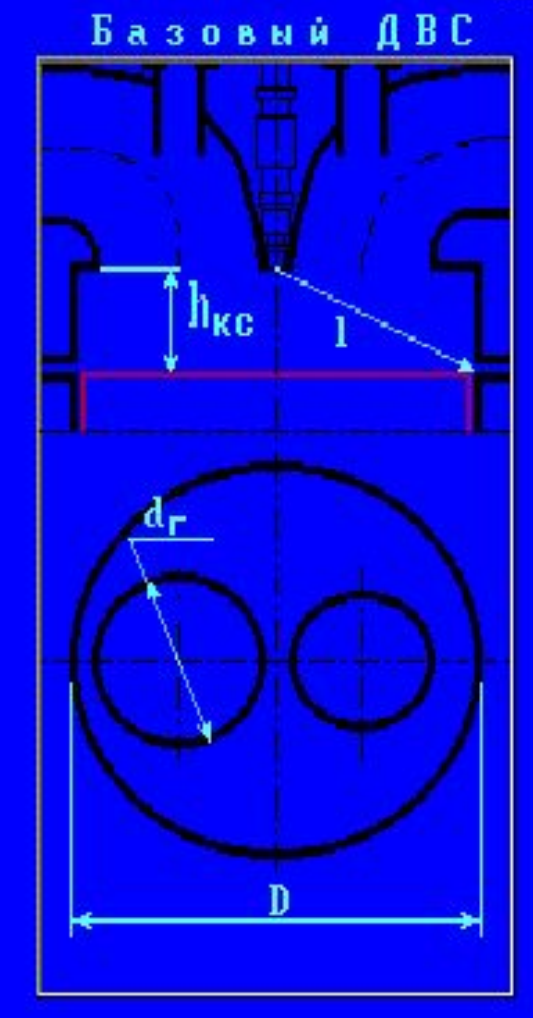


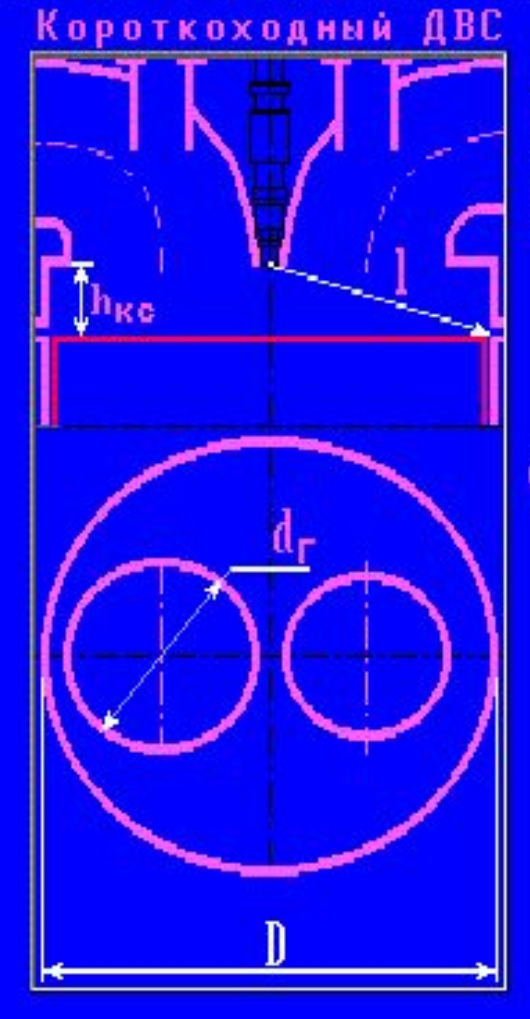
Условия сравнения: V_h = const; I_m = const; $V_{\kappa\sigma}$ = const; n = const Для цилиндрической камеры сгорания: $V_{\kappa\sigma} = \frac{\Re \cdot D^2}{4} \cdot h_{\kappa\sigma}$



9словия сравнения: V_h = const; I_m = const; $V_{\kappa\sigma}$ = const; n = const Для цилиндрической камеры сгорания: $V_{\kappa\sigma} = \frac{\pi \cdot D^2}{4} \cdot h_{\kappa\sigma}$

$$K\downarrow - \frac{1}{2} \frac{1}{2} \frac{1}{4}$$

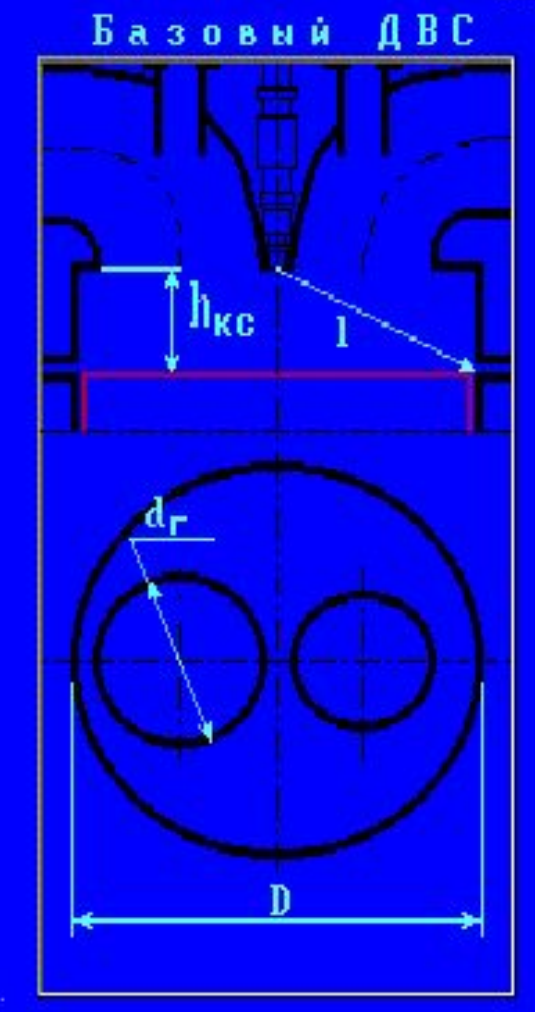


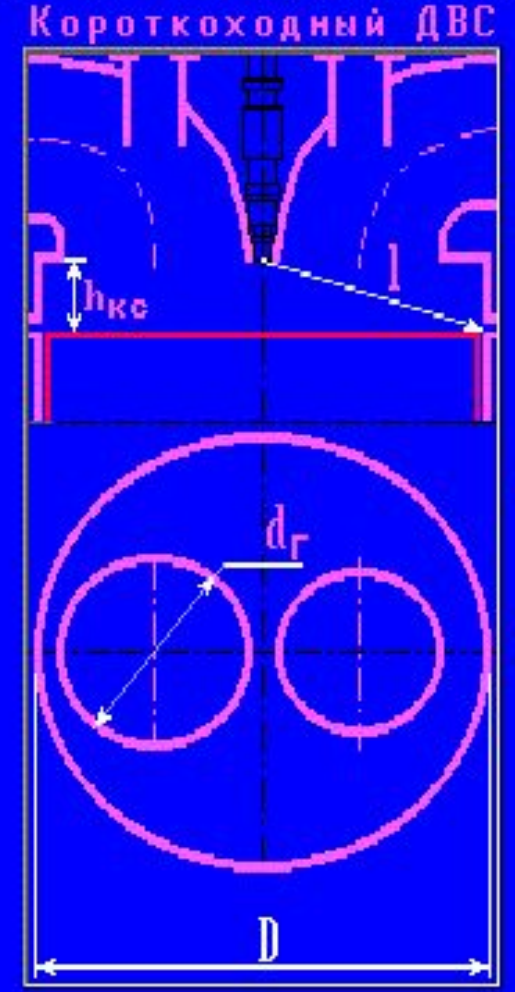


Условия сравнения: V_h = const; I_m = const; $V_{\kappa\sigma}$ = const; n = const Для цилиндрической камеры сгорания: $V_{\kappa\sigma} = \frac{\Re (\cdot D)^2}{4} \cdot h_{\kappa\sigma}$

$$\mathsf{K} \uparrow - \mathsf{L} \stackrel{\mathbb{D}}{=} \frac{\mathsf{D}}{\mathsf{I}} \downarrow \to \mathsf{q}^{\mathsf{L}} \downarrow$$

 появляется возможность улучшить наполнение цилиндра свежим зарядом за счет увеличения d_г

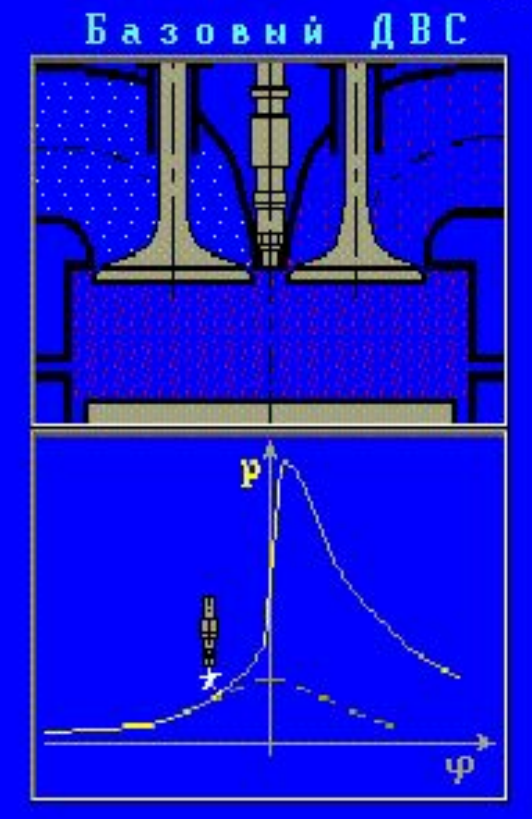




Условия сравнения: V_h = const; I_{w} = const; V_{kg} = const; n = const Для цилиндрической камеры сгорания: V_{kg} = $\frac{\pi \cdot D^2}{4} \cdot h_{\text{kg}}$

$$R1 \longrightarrow \frac{s}{l} \xrightarrow{l} h_{\kappa \sigma} \xrightarrow{l} l \uparrow$$

- появляется возможность улучшить наполнение цилиндра свежим зарядом за счет увеличения d_г
- возможна детонация

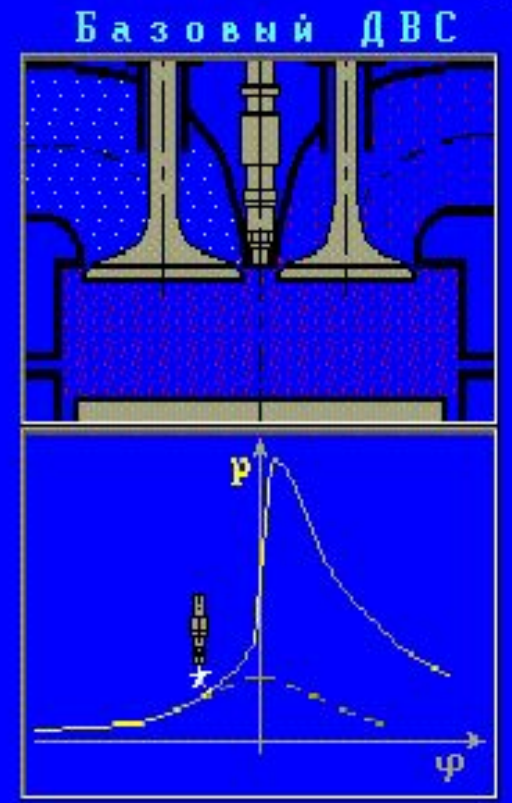




Условия сравнения: V_h = const; I_{w} = const; V_{kg} = const; n = const Для цилиндрической камеры сгорания: $V_{\text{kg}} = \frac{51 \cdot D^2}{4} \cdot h_{\text{kg}}$

$$\mathsf{R} \downarrow - \begin{array}{c} & & \\ & \\ \end{array} & \begin{array}{c} & \\ & \\ \end{array} & \begin{array}{c} \\ \\ \end{array}$$

- появляется возможность улучшить наполнение цилиндра свежим зарядом за счет увеличения d_г
- 🕳 возможна детонация

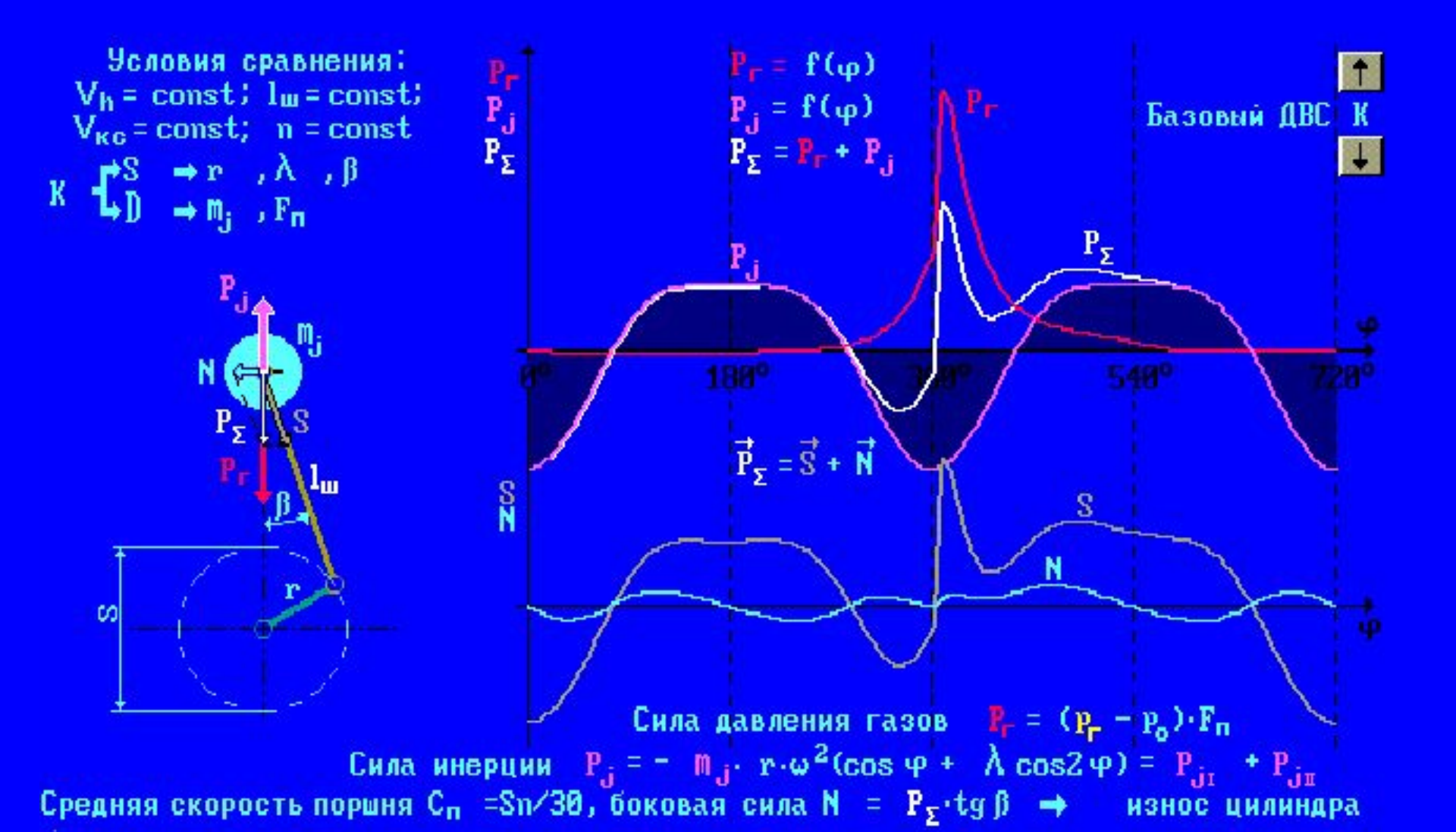


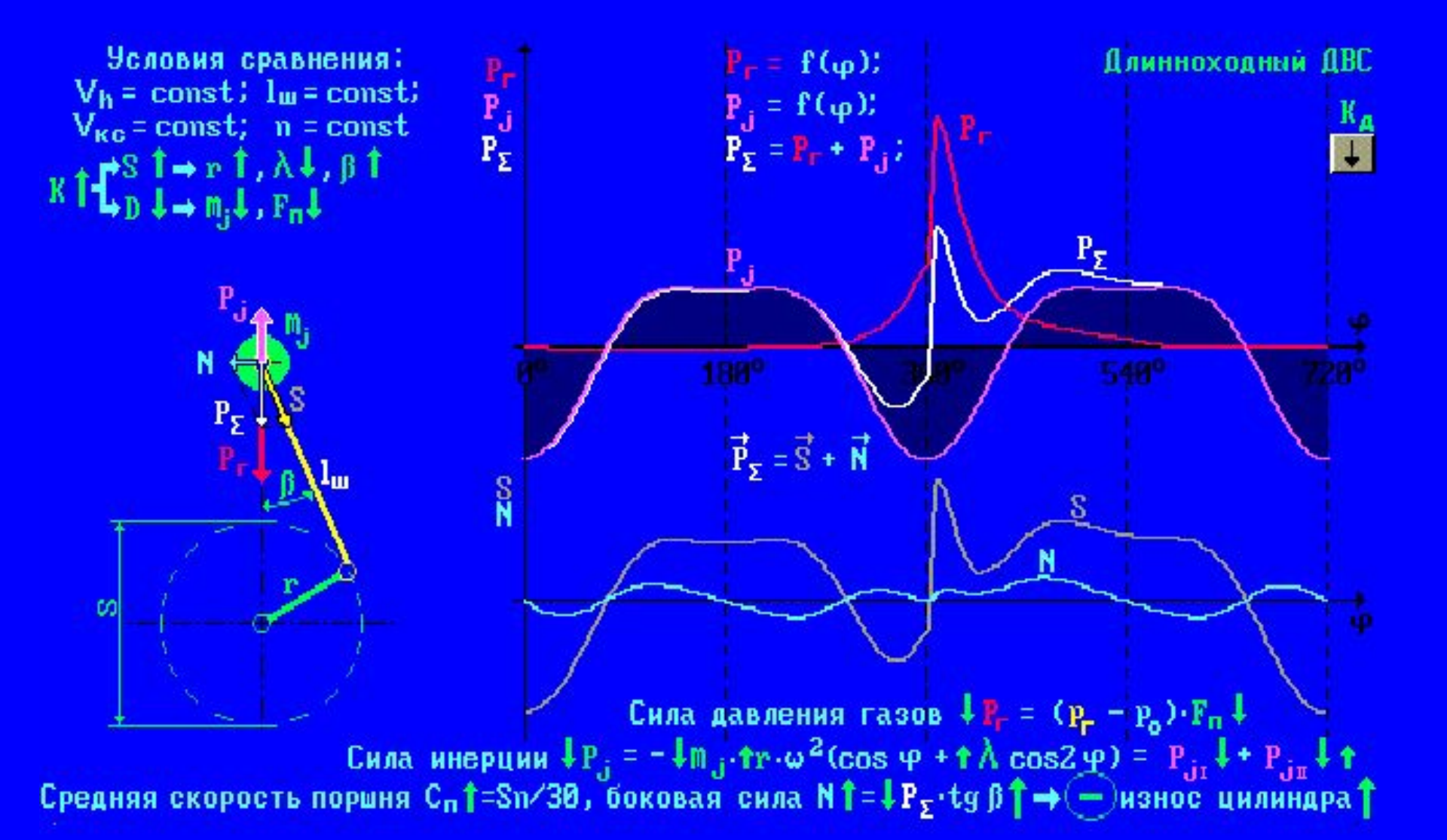


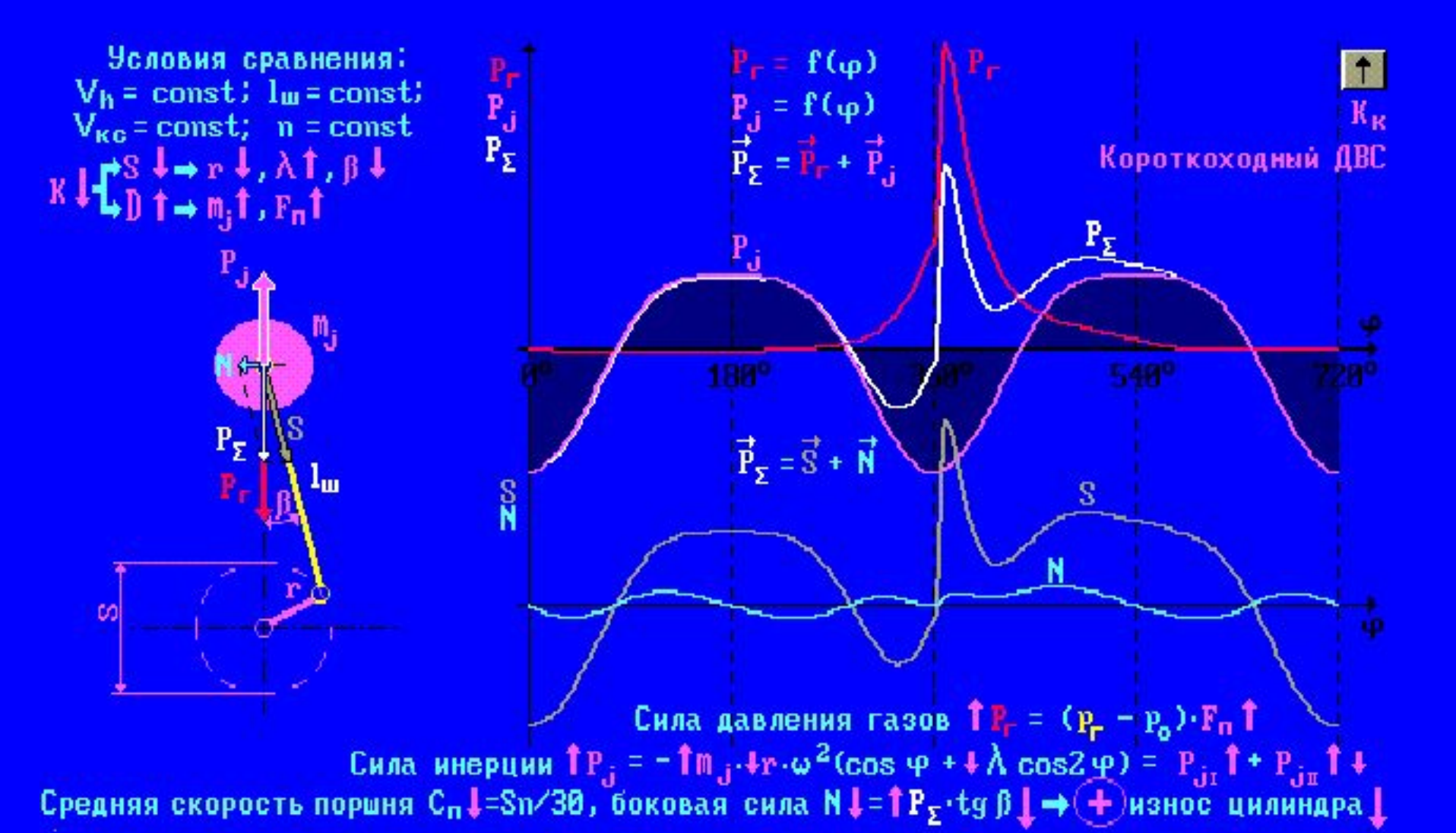
Условия сравнения: V_h = const; I_{m} = const; V_{kg} = const; n = const Для цилиндрической камеры сгорания: V_{kg} = $\frac{\pi \cdot D^2}{4} \cdot h_{\text{kg}}$

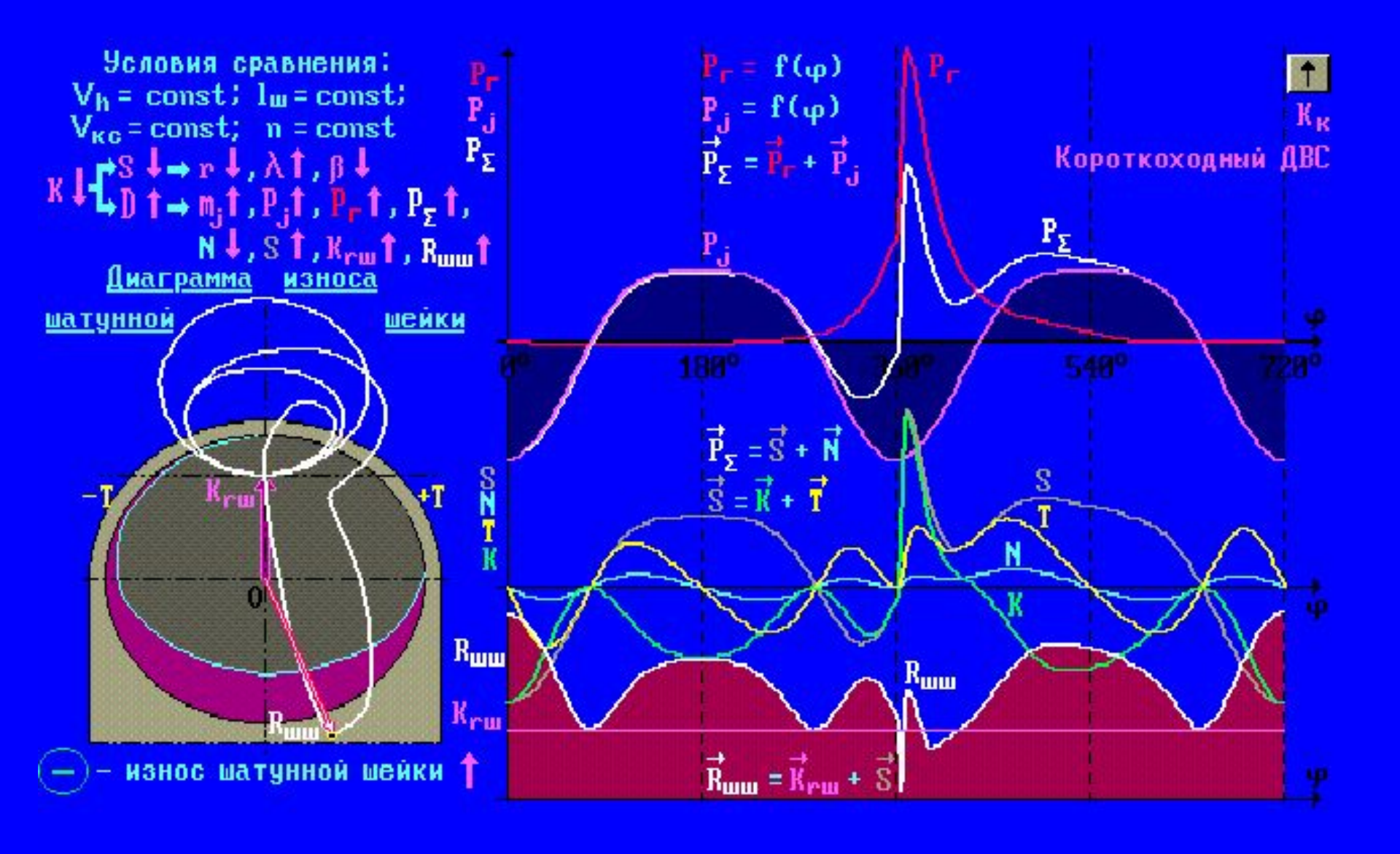
$$\mathsf{R} \downarrow - \begin{array}{c} & & \\ & \\ \end{array} & \begin{array}{c} & \\ & \\ \end{array} & \begin{array}{c} \\ \\ \end{array}$$

- + появляется возможность улучшить наполнение цилиндра свежим зарядом за счет увеличения d_г
- —) возможна детонация

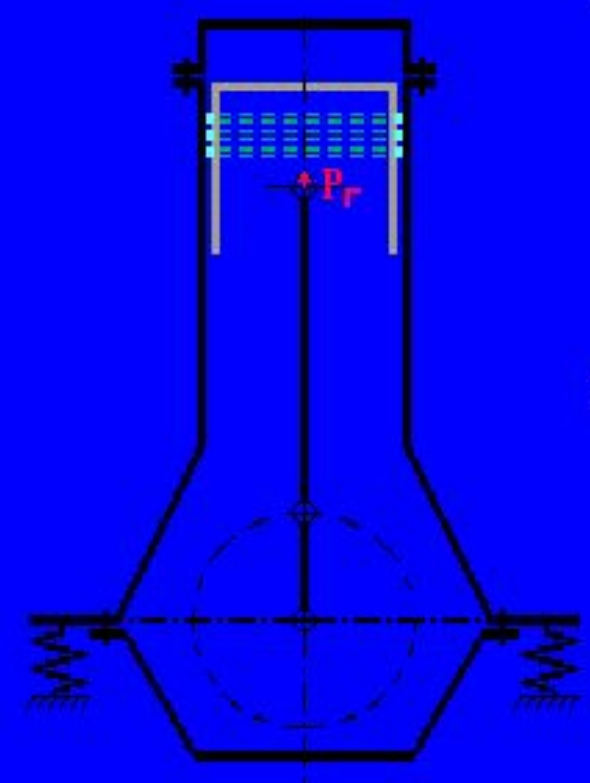


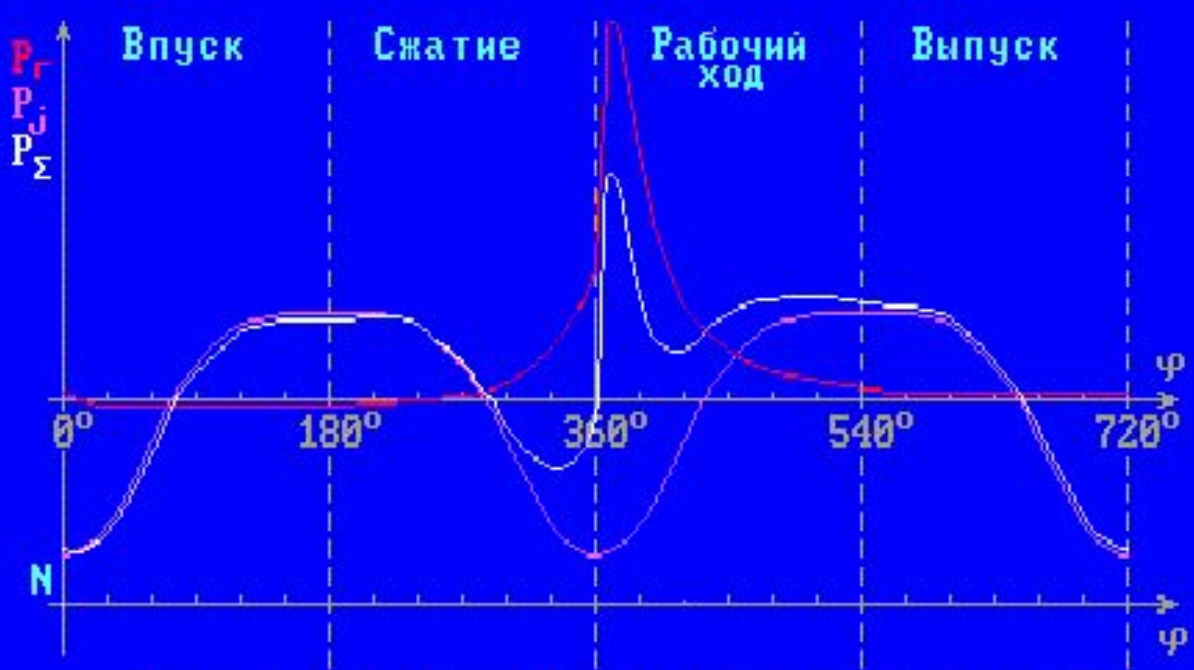






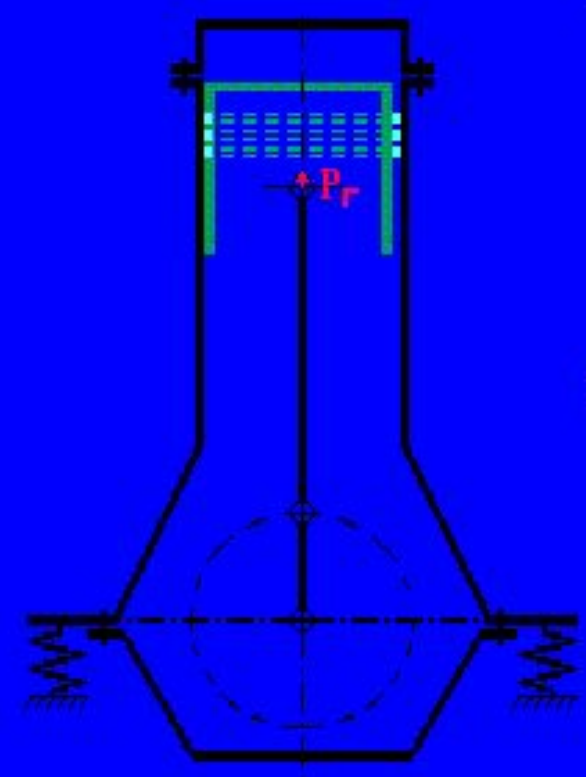


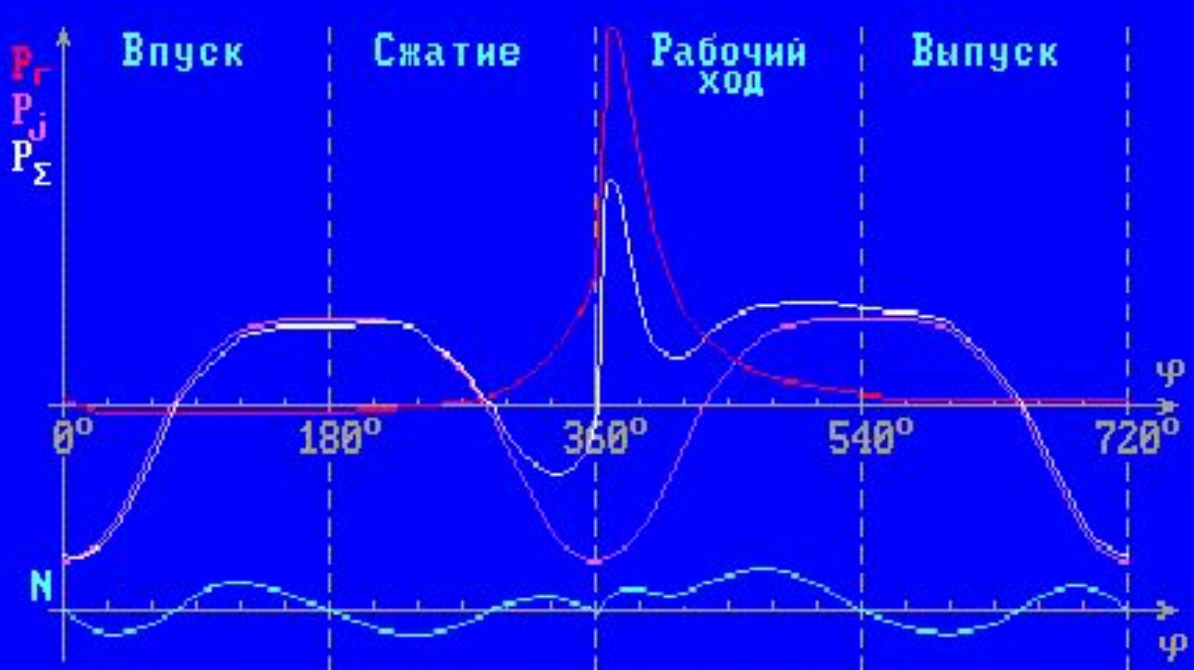




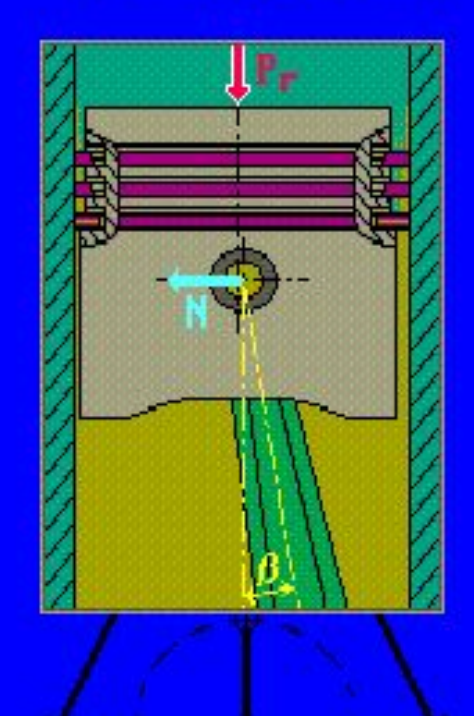
Износ цилиндра неравномерен — больше изнашивает сята его сторона, к которой прижимается поршень при рабочем ходе, что связано с ростом P_г и связанной с ней силой N, достигающих максимального значения вблизи BMT в начале такта расширения.

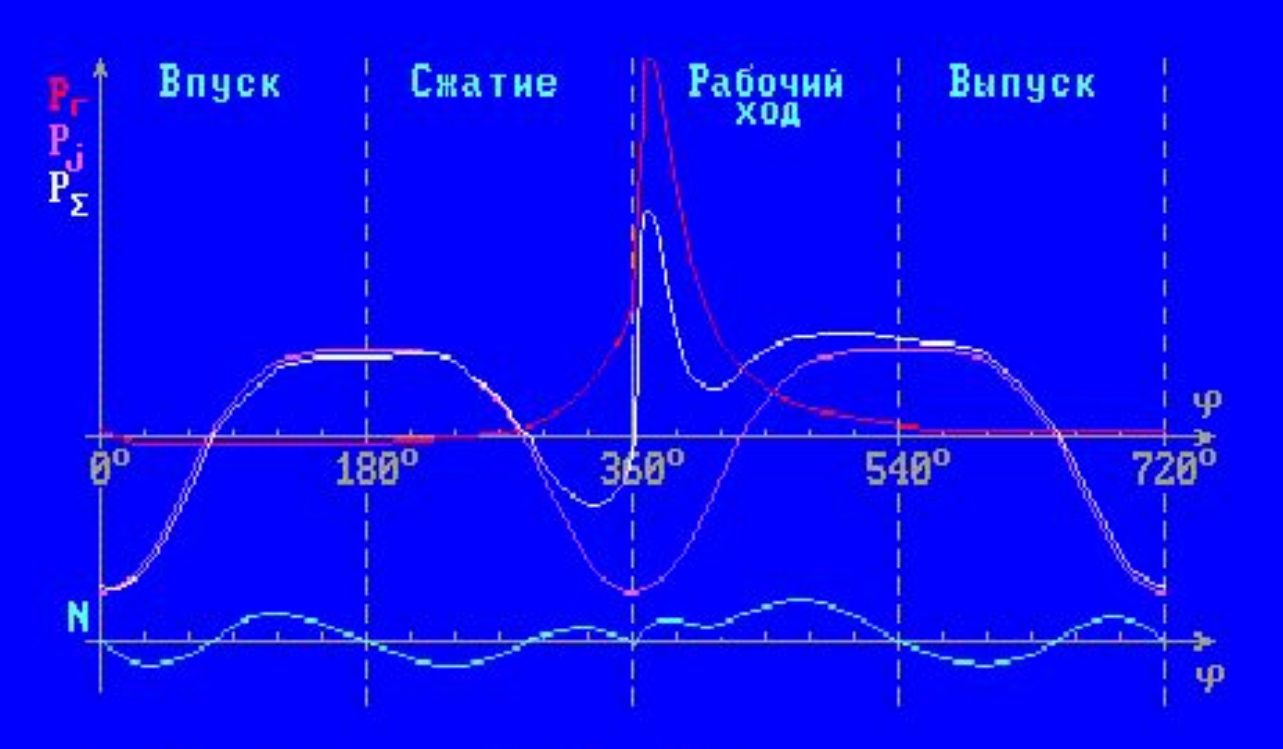




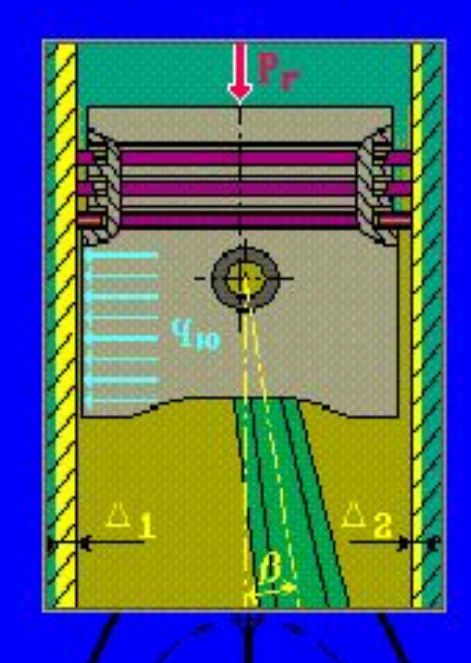


Износ цилиндра неравномерен — больше изнашивает сята его сторона, к которой прижимается поршень при рабочем ходе, что связано с ростом P_г и связанной с ней силой N, достигающих максимального значения вблизи BMT в начале такта расширения.



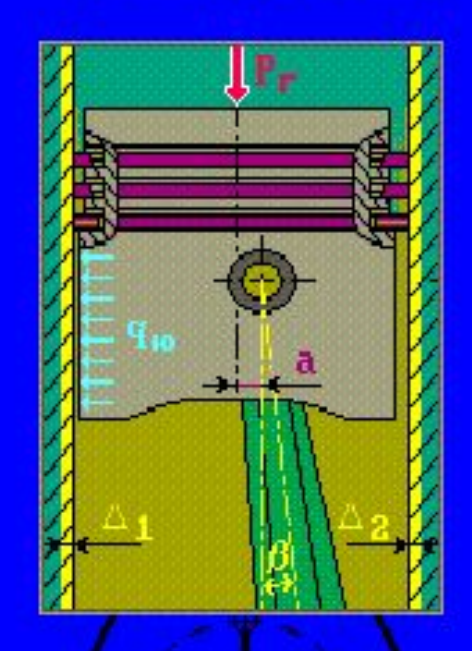


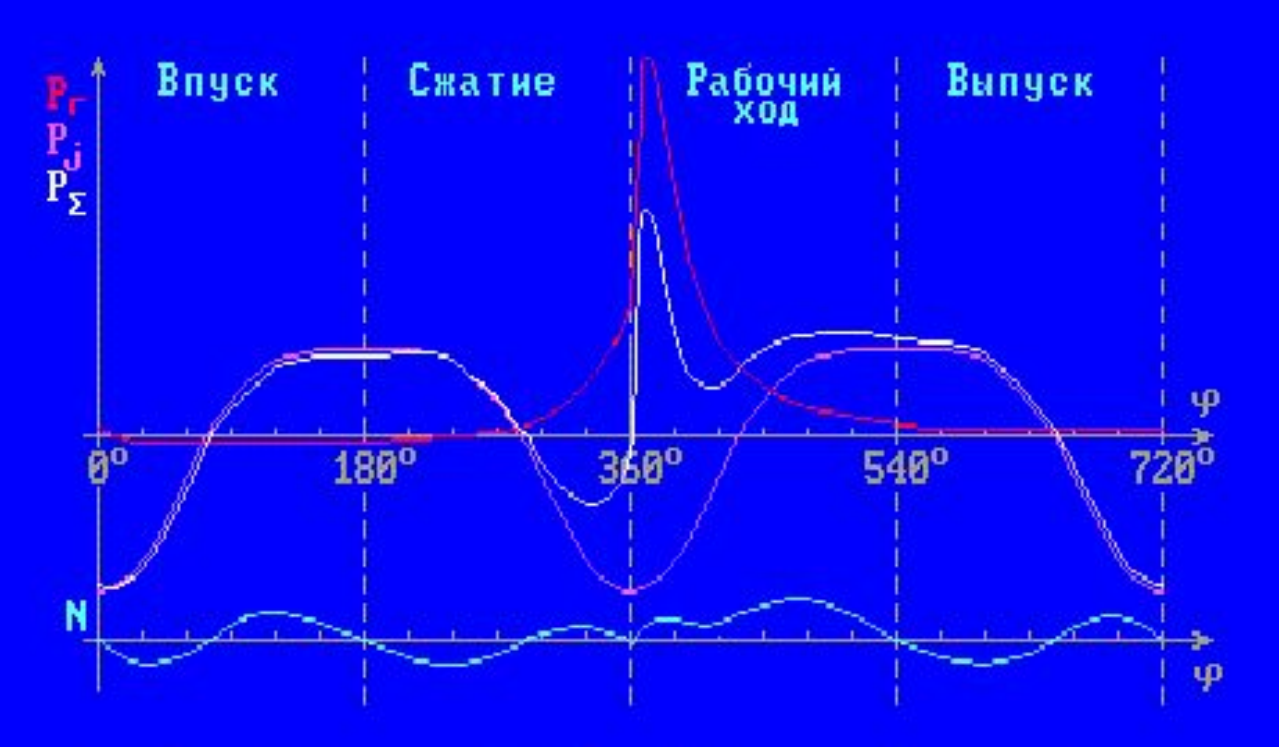
Рабочий ход → № 1 → №





Рабочий ход \longrightarrow Pr \uparrow \longrightarrow N \uparrow \longrightarrow q_{10} \uparrow \longrightarrow \triangle_1 \triangleright \triangle_2 \triangle — износ цилиндра Износ цилиндра неравномерен .





Рабочий ход \longrightarrow P_r \uparrow \longrightarrow N \uparrow \longrightarrow q₁₀ \uparrow \longrightarrow \triangle 1 > \triangle 2 \triangle — износ цилиндра

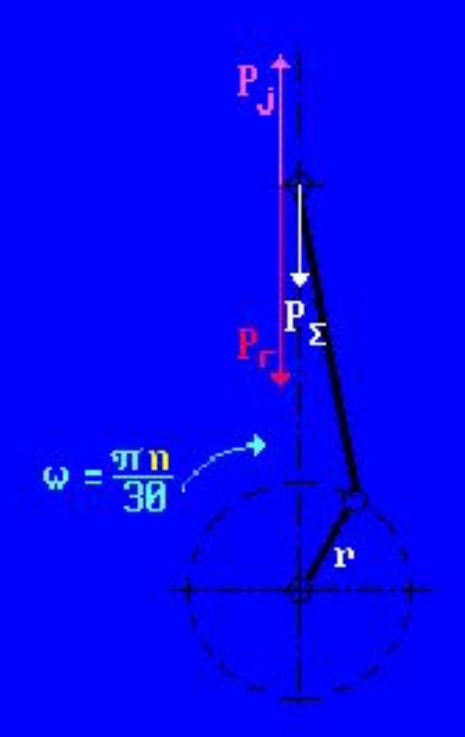
Износ цилиндра неравномерен.

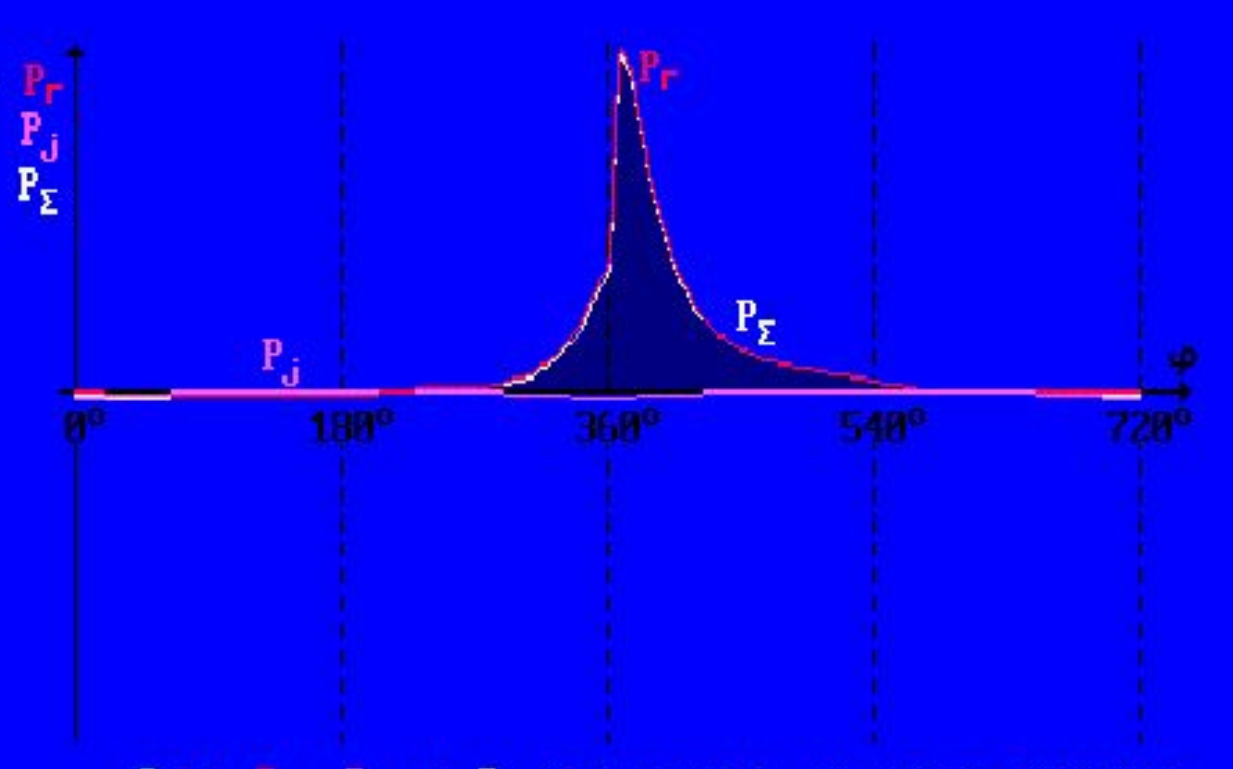
При наличии дезаксажа — а $\rightarrow \beta \downarrow \rightarrow N \downarrow \rightarrow q_{10} \downarrow \rightarrow \Delta_1 \downarrow \Delta_2 \uparrow$

Это позволяет выровнять износ цилиндра по его периметру.



Влияние режимных факторов на динамические нагрузки в КШМ

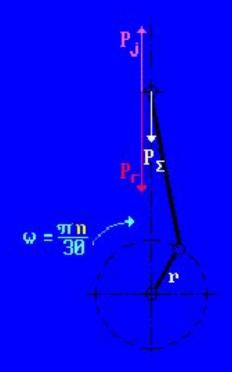


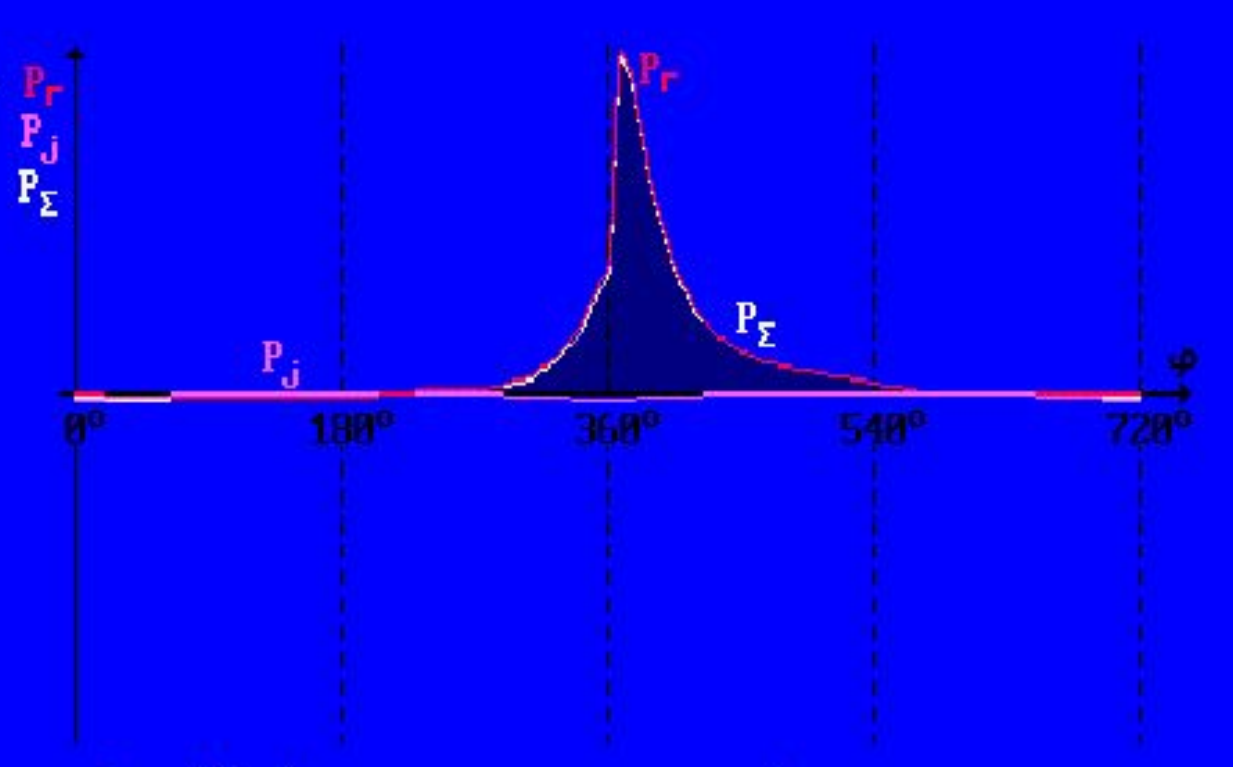


Силы P_r , P_j и P_Σ изменяются по углу поворота коленчатого вала и определяются режимом работы ДВС.

Режим работы ДВС существенным образом влияет на динамические нагрузки в КШМ.

Рассмотрим влияние частоты вращения коленчатого вала и нагрузки на динамические факторы, возникающие в КШМ. Влияние режимных факторов на динамические нагрузки в КШМ





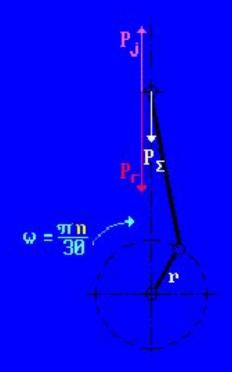
 $P_{r} = f(\phi) - сила давления газов;$

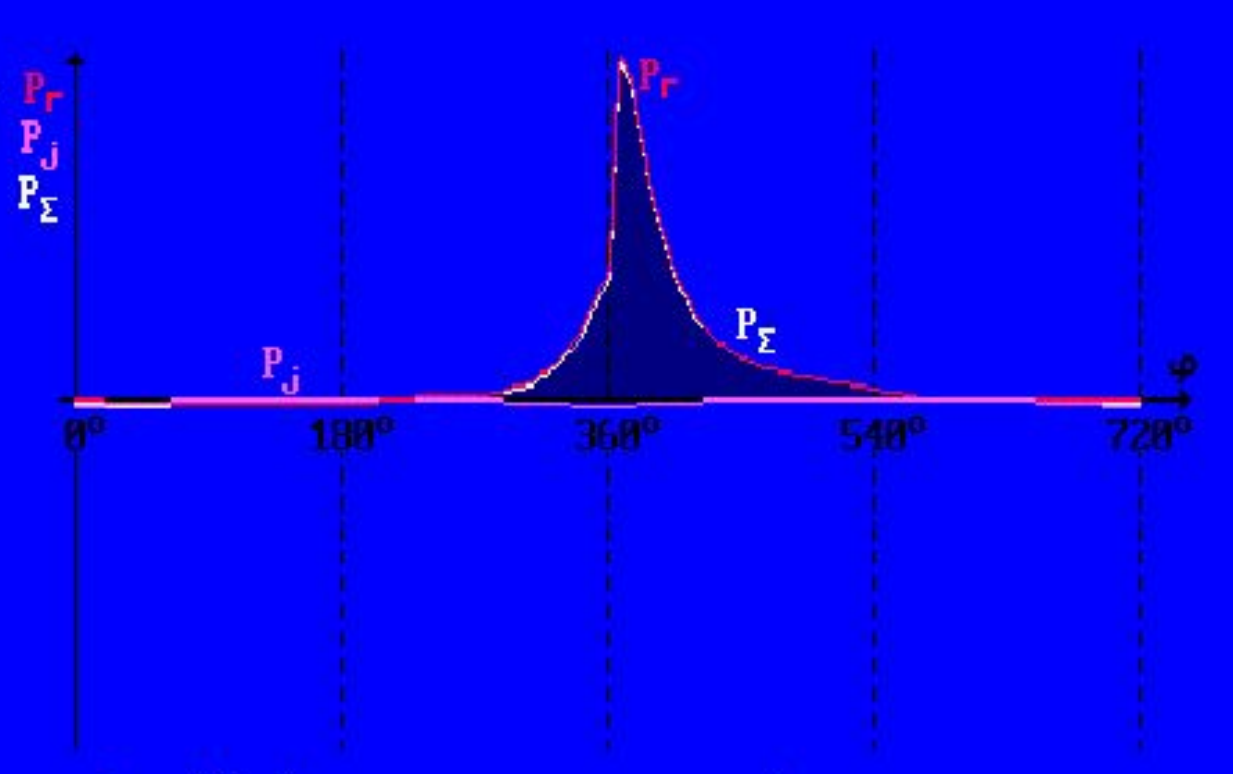
Сила инерции от возратно-поступательно движущихся масс ($\mathbf{P_j}$):

$$P_{ij} = -m_{ij} \cdot r \cdot \omega^{2} (\cos \varphi + \lambda \cos 2\varphi) = f(\omega^{2}, \varphi) = f(n^{2}, \varphi);$$

 $P_{\Sigma} = P_{\Gamma} + P_{ij} - \text{суммарная сила.}$

Влияние режимных факторов на динамические нагрузки в КШМ





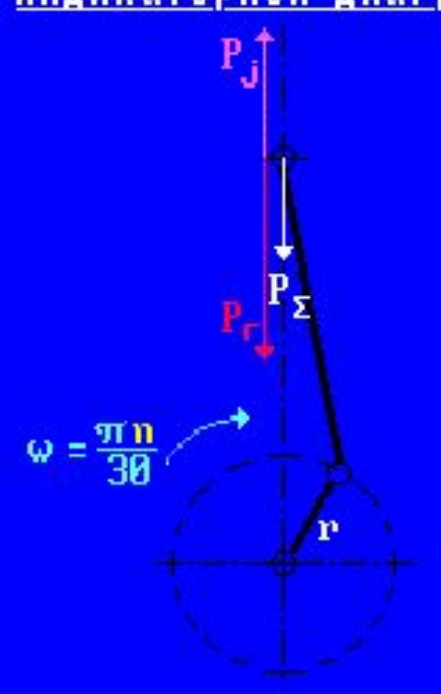
 $P_{r} = f(\phi) - сила давления газов;$

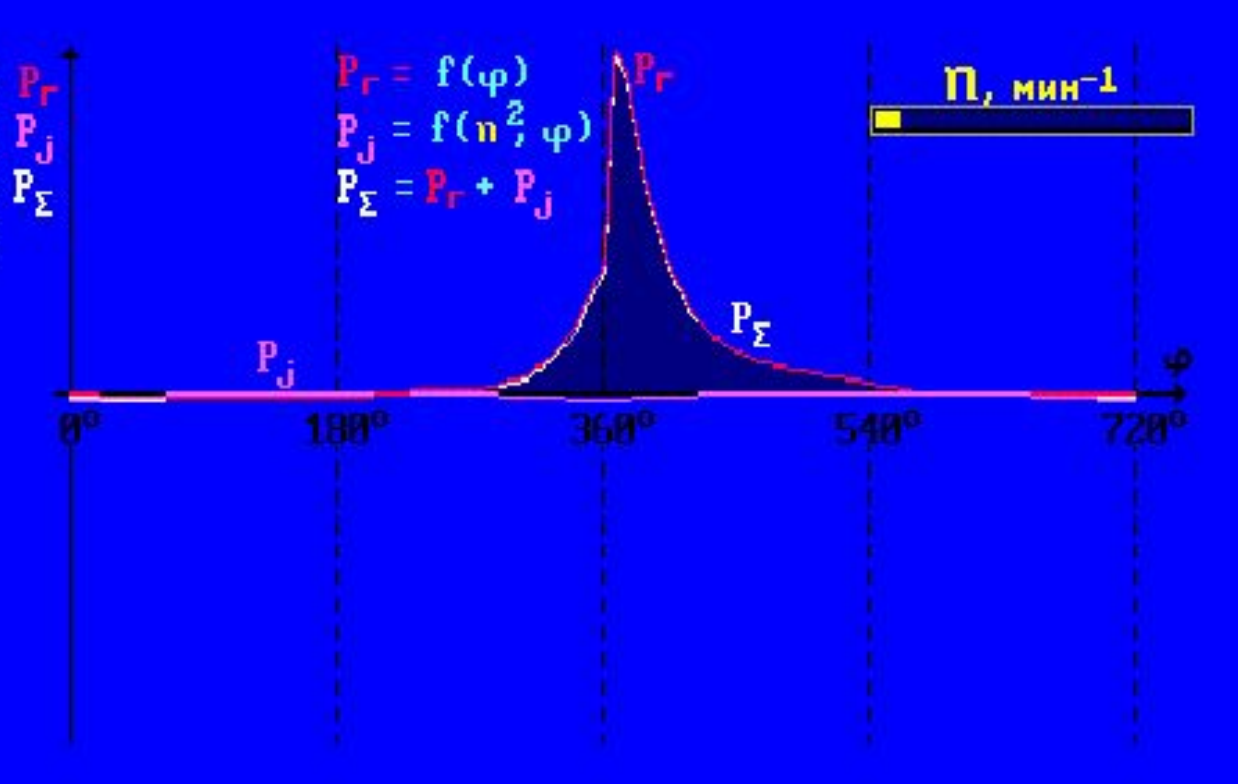
Сила инерции от возратно-поступательно движущихся масс (P_j) :

$$P_{ij} = f(n^2, \varphi);$$

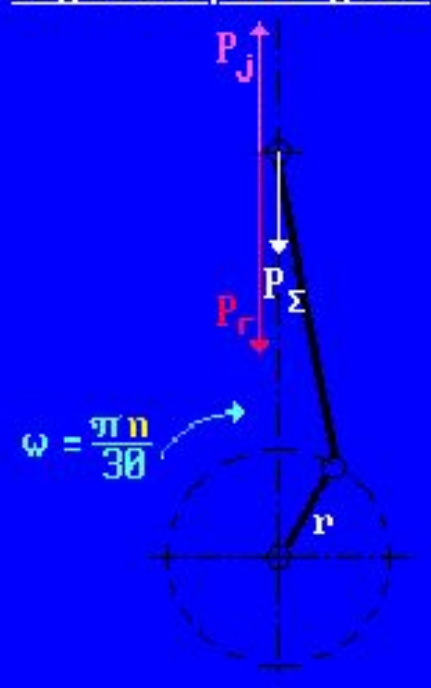
 $P_{\Sigma} = P_{\Gamma} + P_{J}$ — суммарная сила.

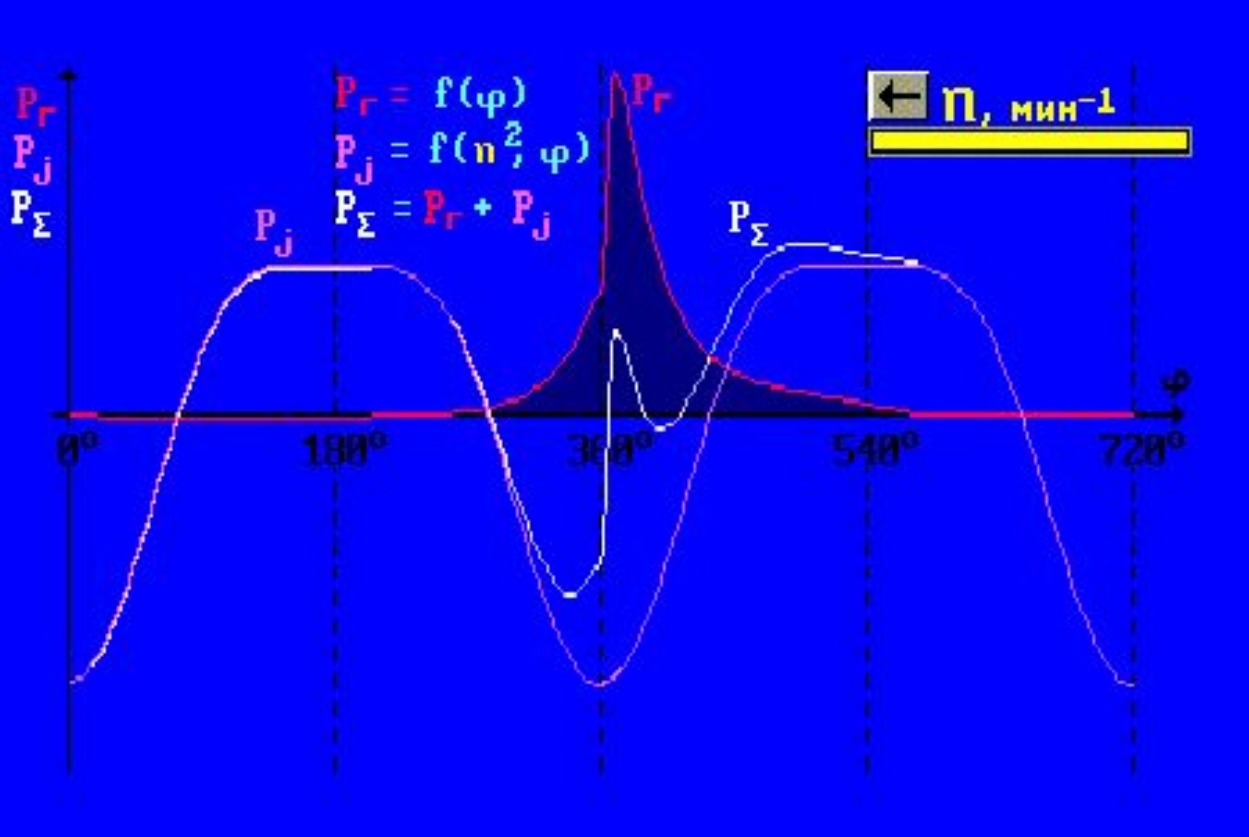
Влияние изменения частоты ревращения коленчатого вала рена динамические нагрузки рена КШМ при неизменной индикаторной диаграмме



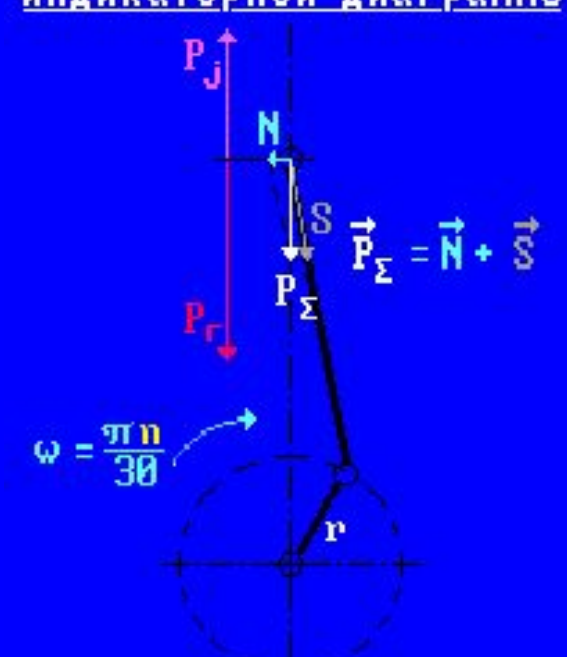


Влияние изменения частоты ревращения коленчатого вала рена динамические нагрузки в КШМ при неизменной индикаторной диаграмме

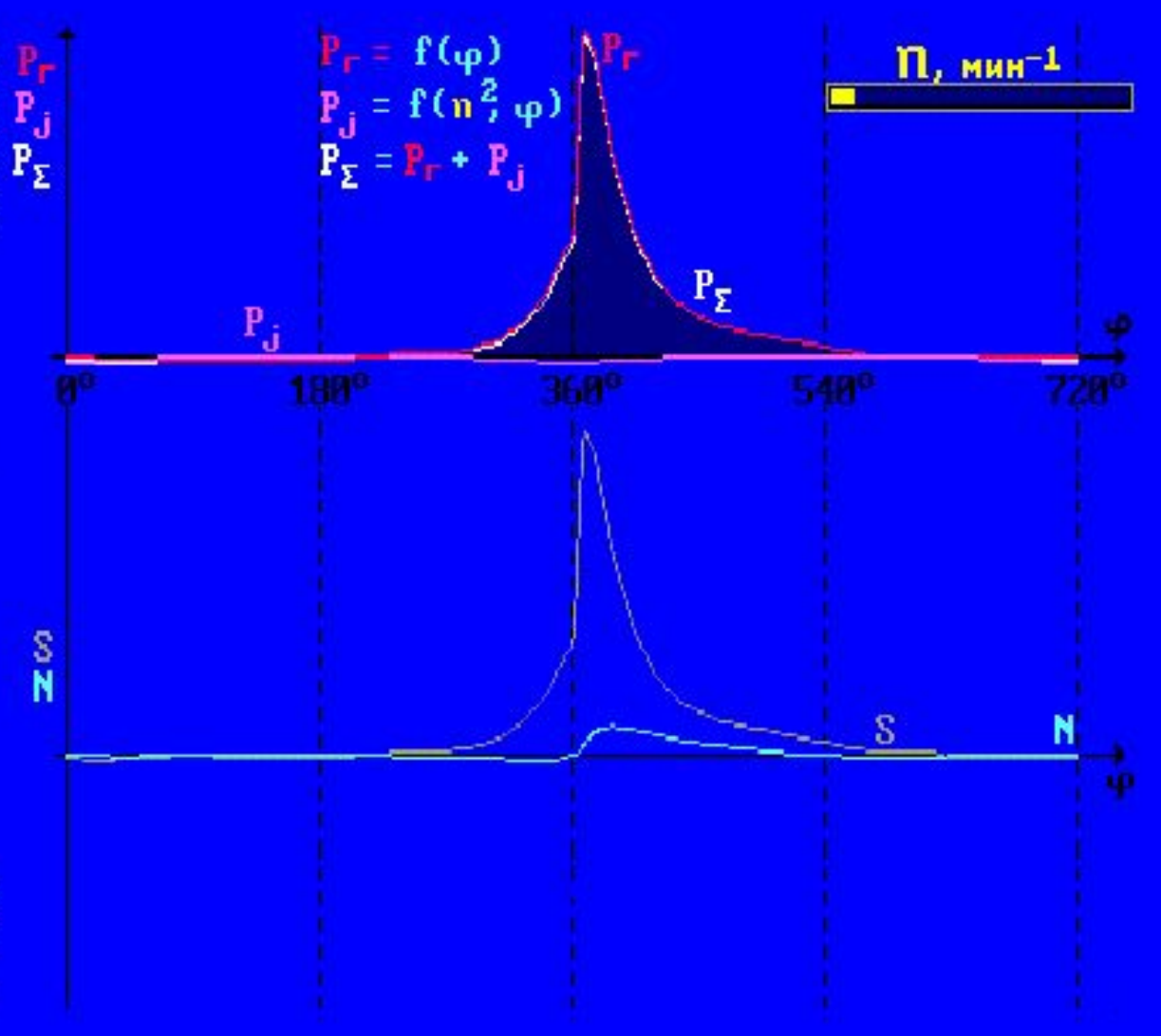


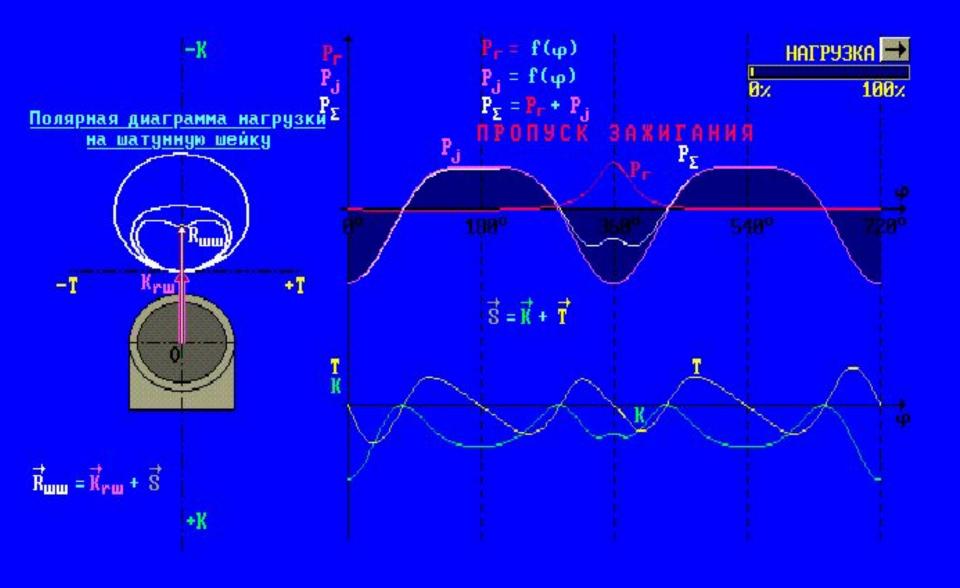


Влияние изменения частоты раращения коленчатого вала рама динамические нагрузки в КШМ при неизменной ранкаторной диаграмме

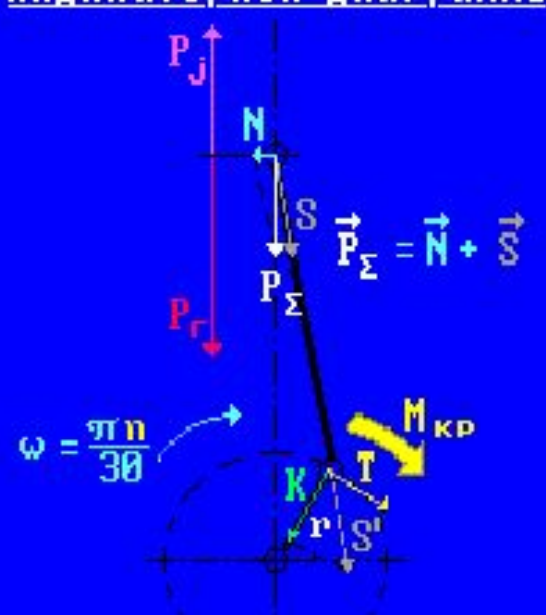


Сила S сжимает-растягивает шатун, а сила N прижимает поршень к стенке цилиндра.

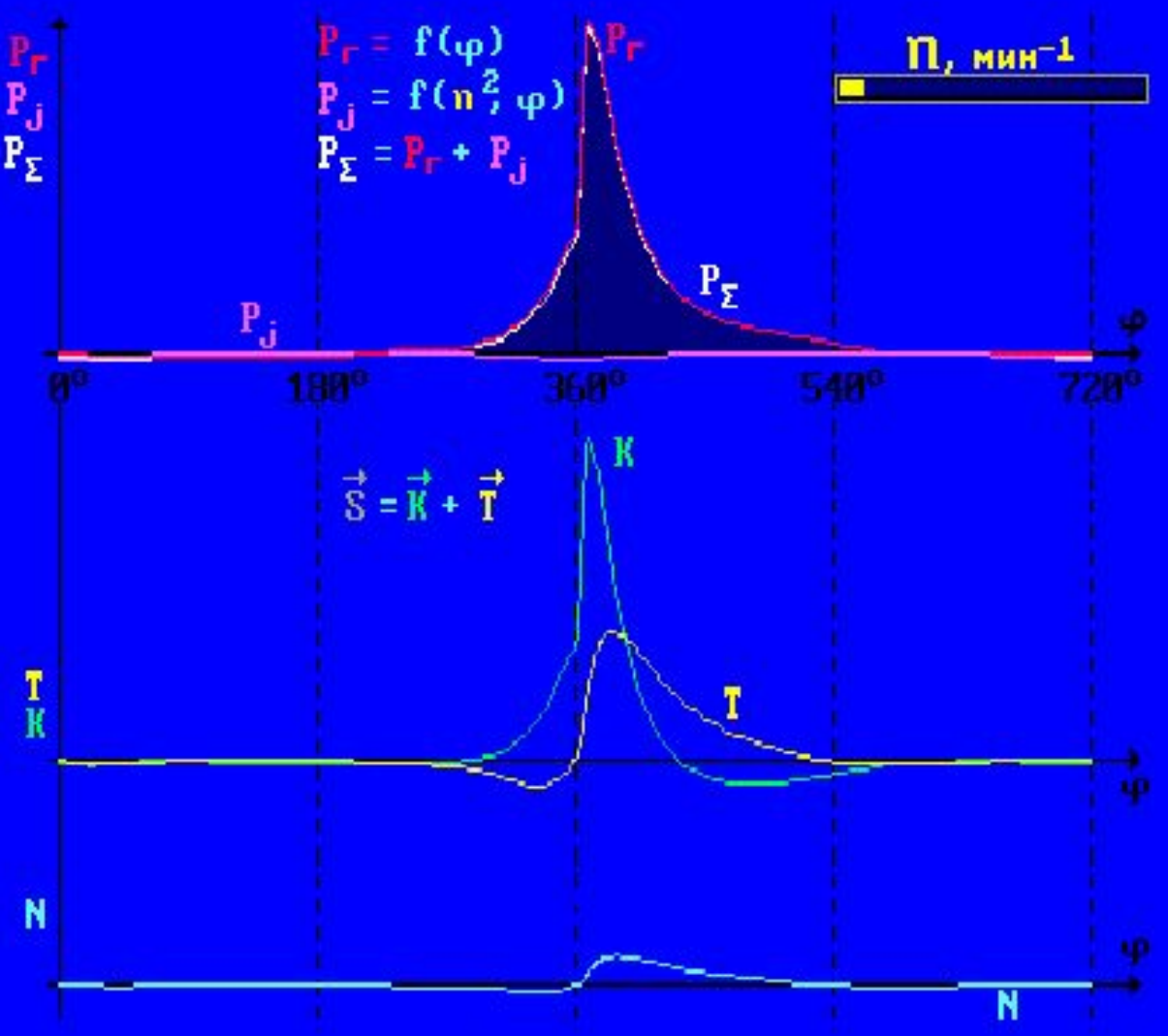




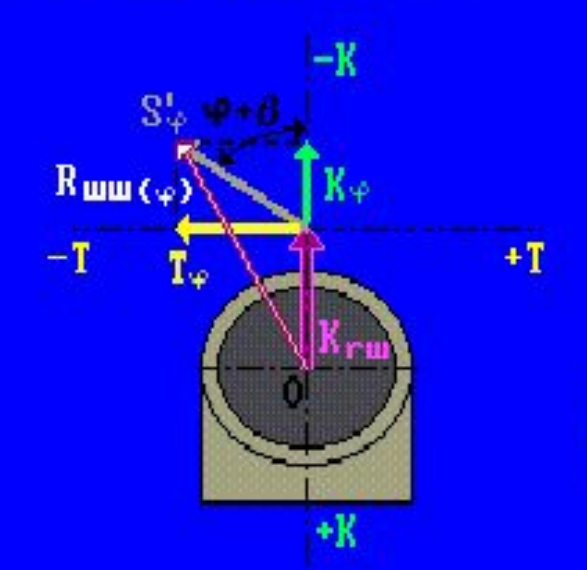
Влияние изменения частоты вращения коленчатого вала на динамические нагрузки в КШМ при неизменной индикаторной диаграмме



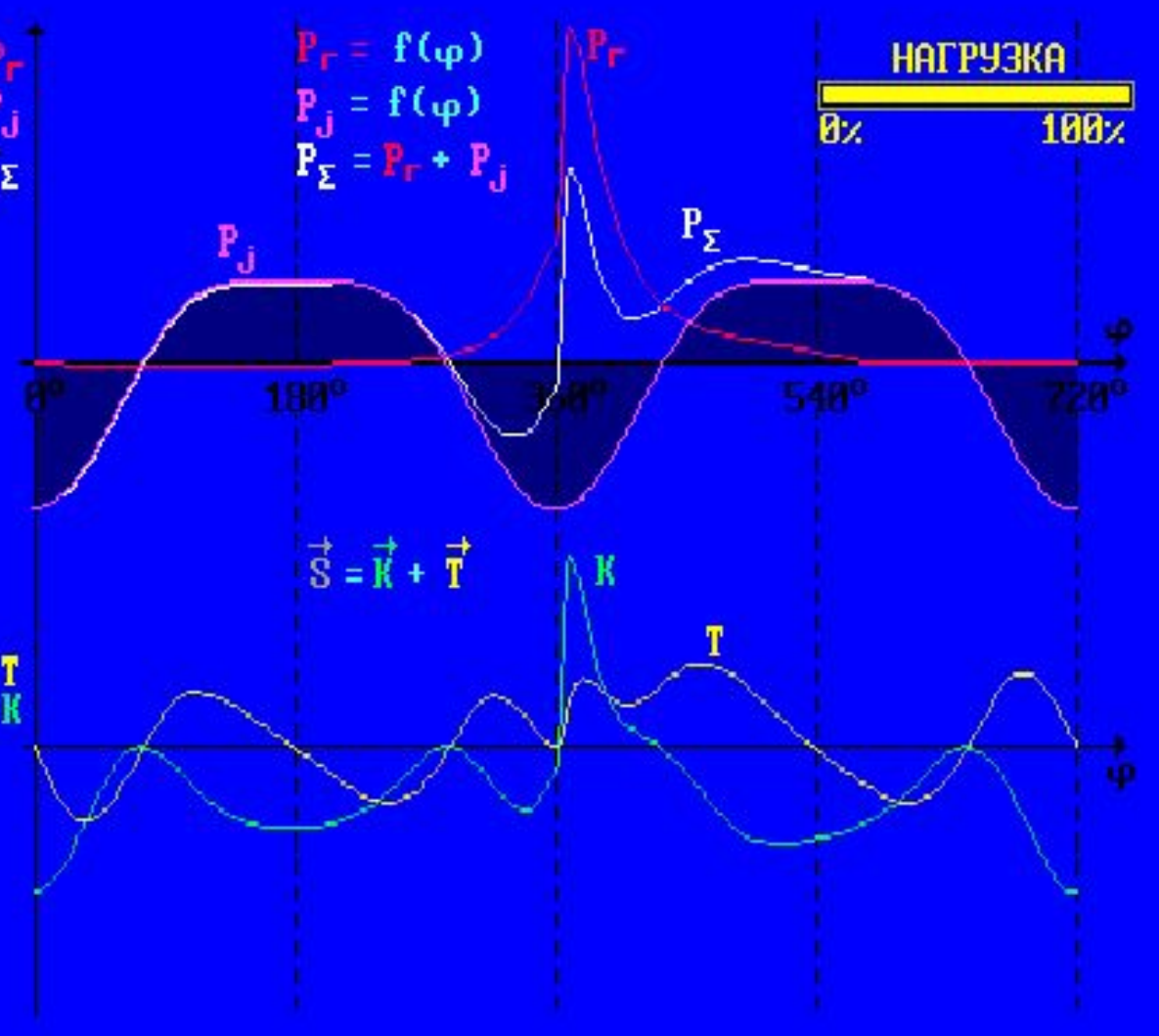
Действие силы S на кривошип: сила K сжимает-растягивает кривошип, а сила T создает крутящий момент $M_{\mathbf{KP}} = T \cdot \mathbf{r}$.

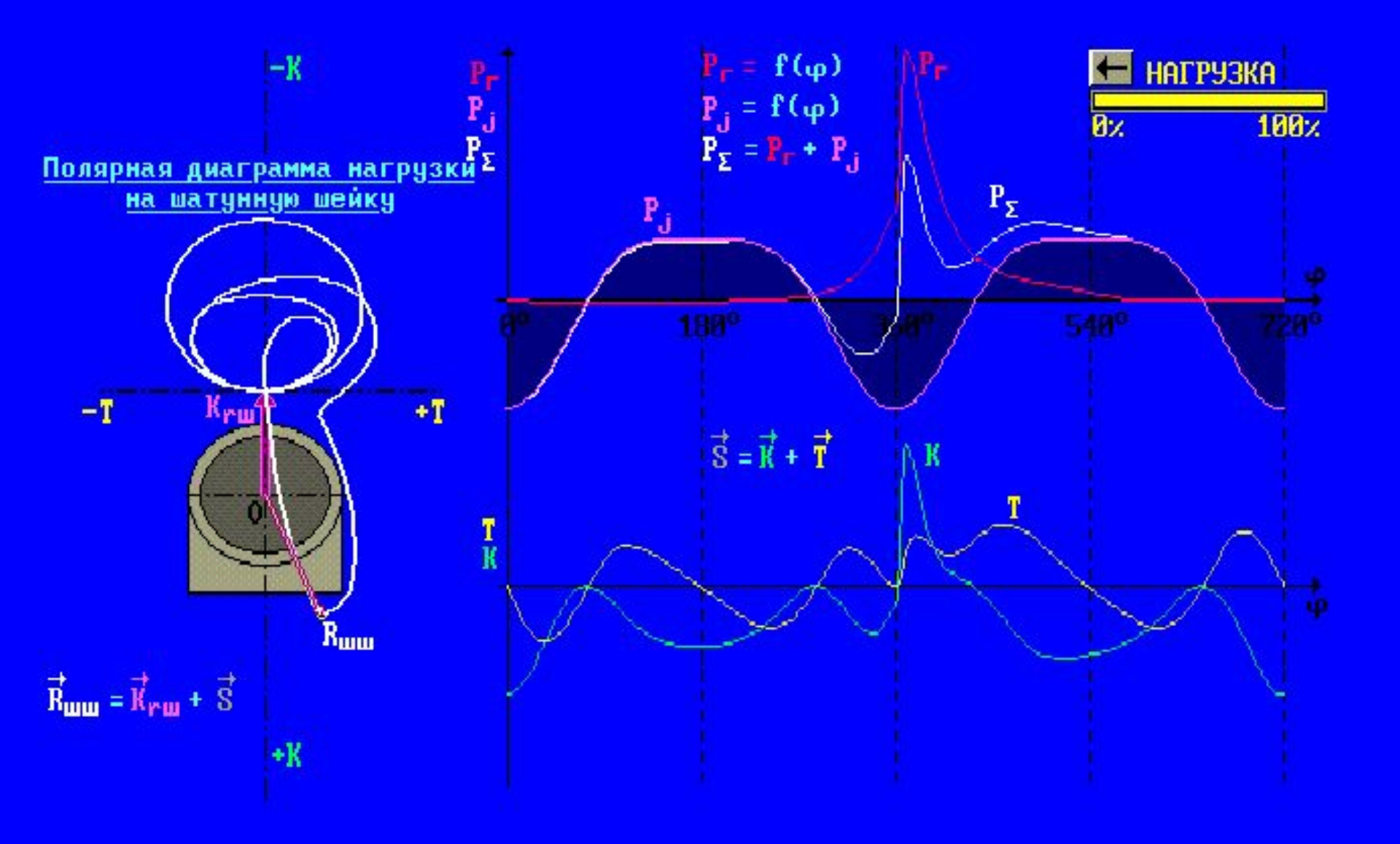


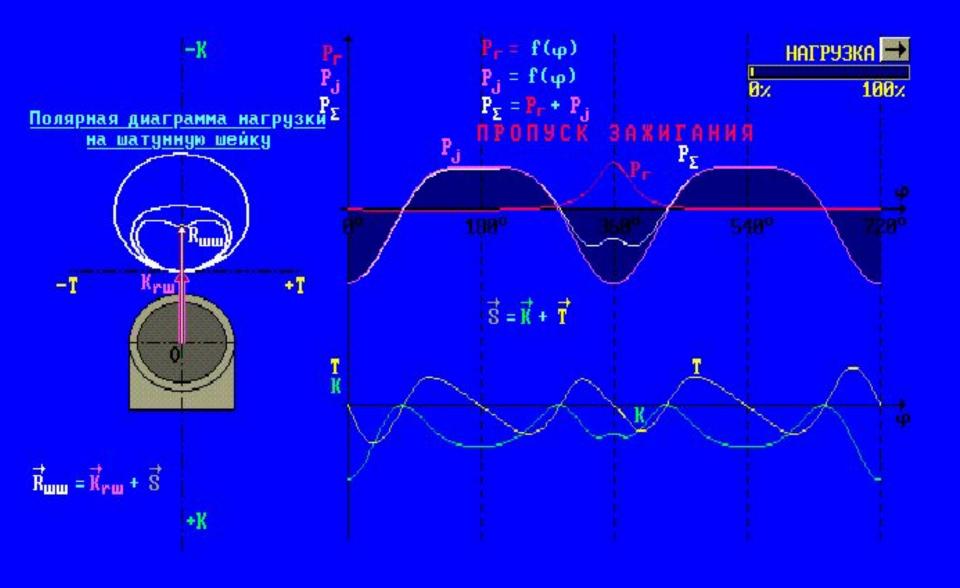
Влияние изменения индикат реторной диаграммы на динат ремические нагрузки в КШМ регори заданной частоте врати в коленчатого вала

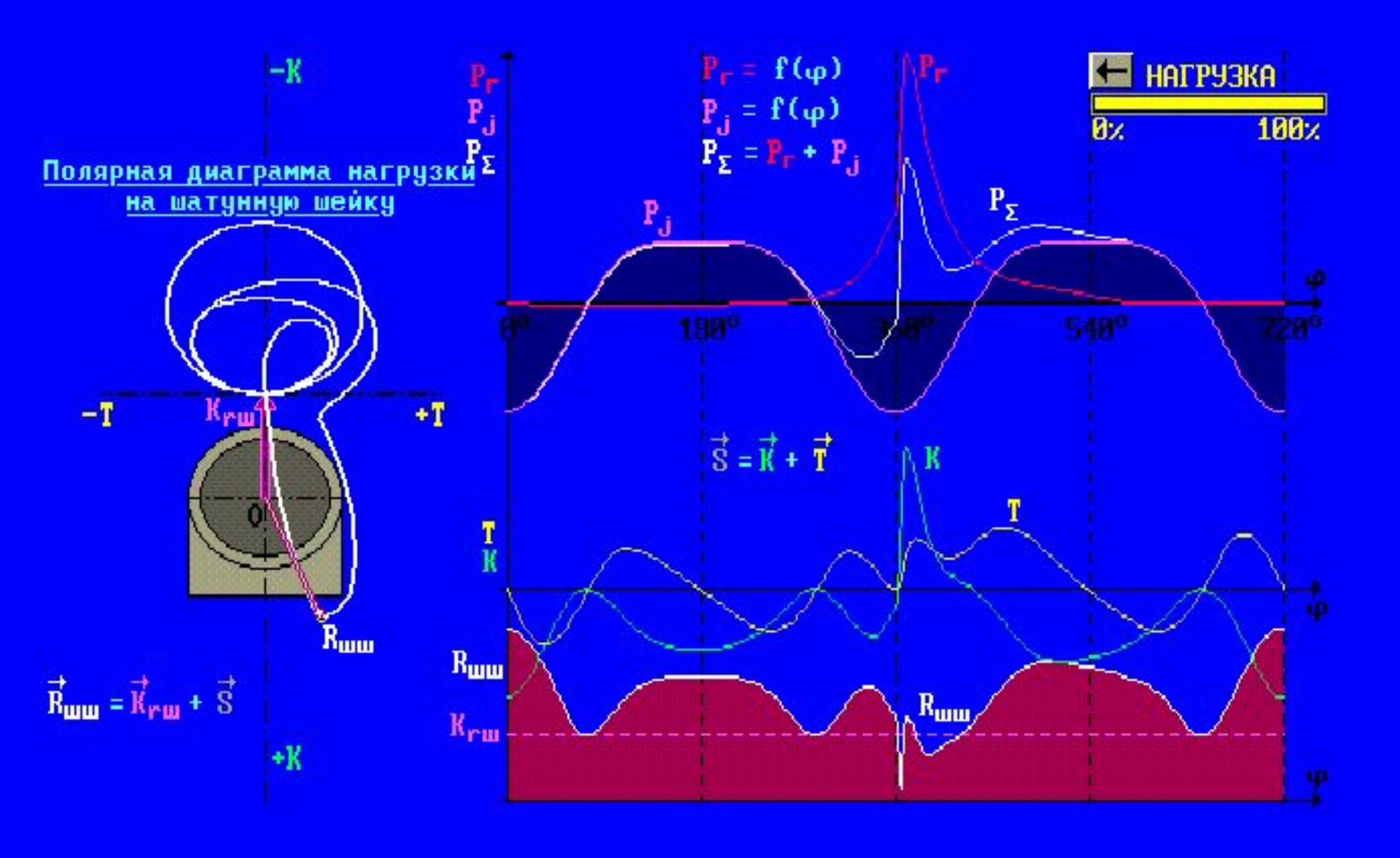


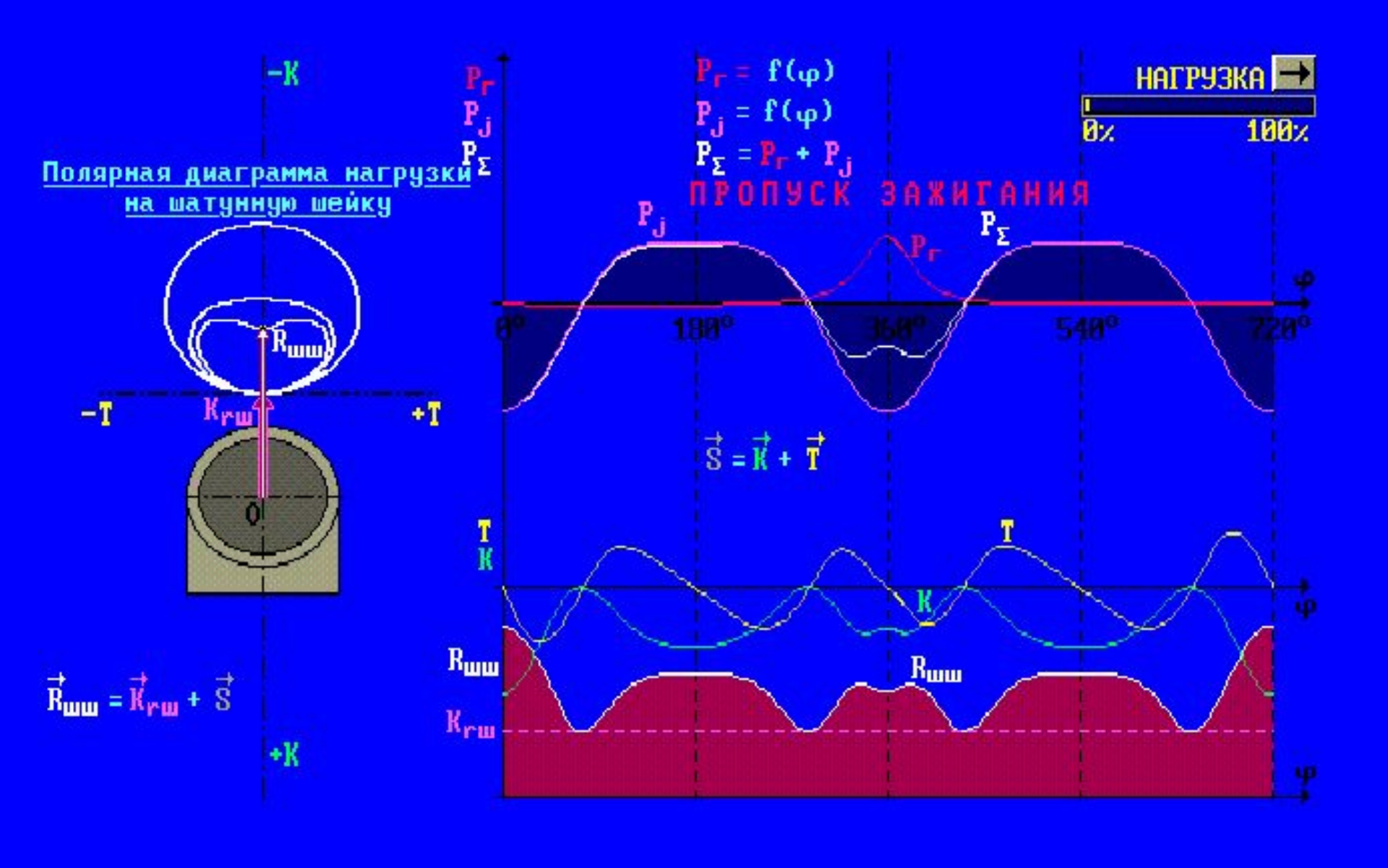
$$\overrightarrow{R}_{mm} = \overrightarrow{K}_{nm} + \overrightarrow{\mathbb{S}}$$

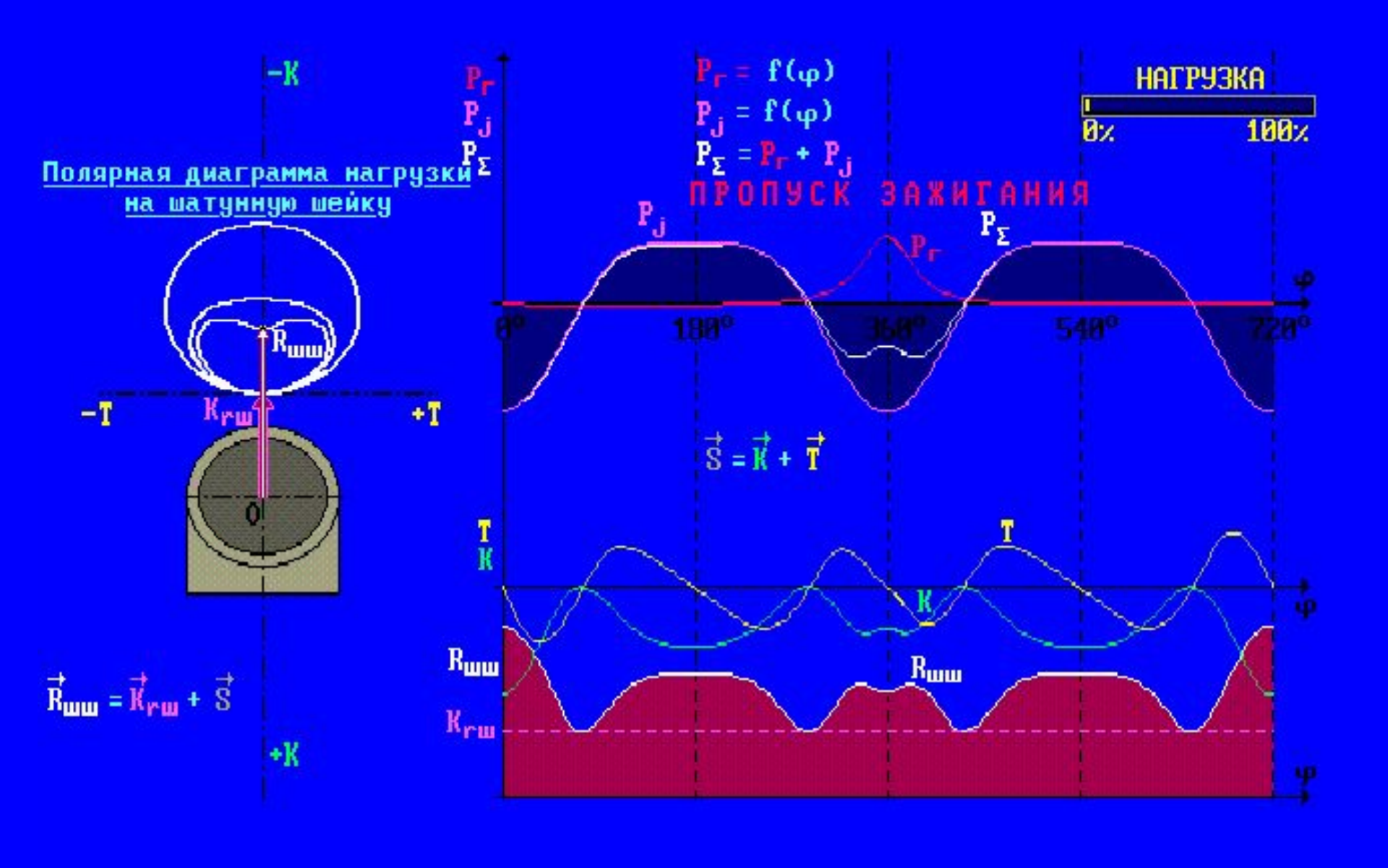


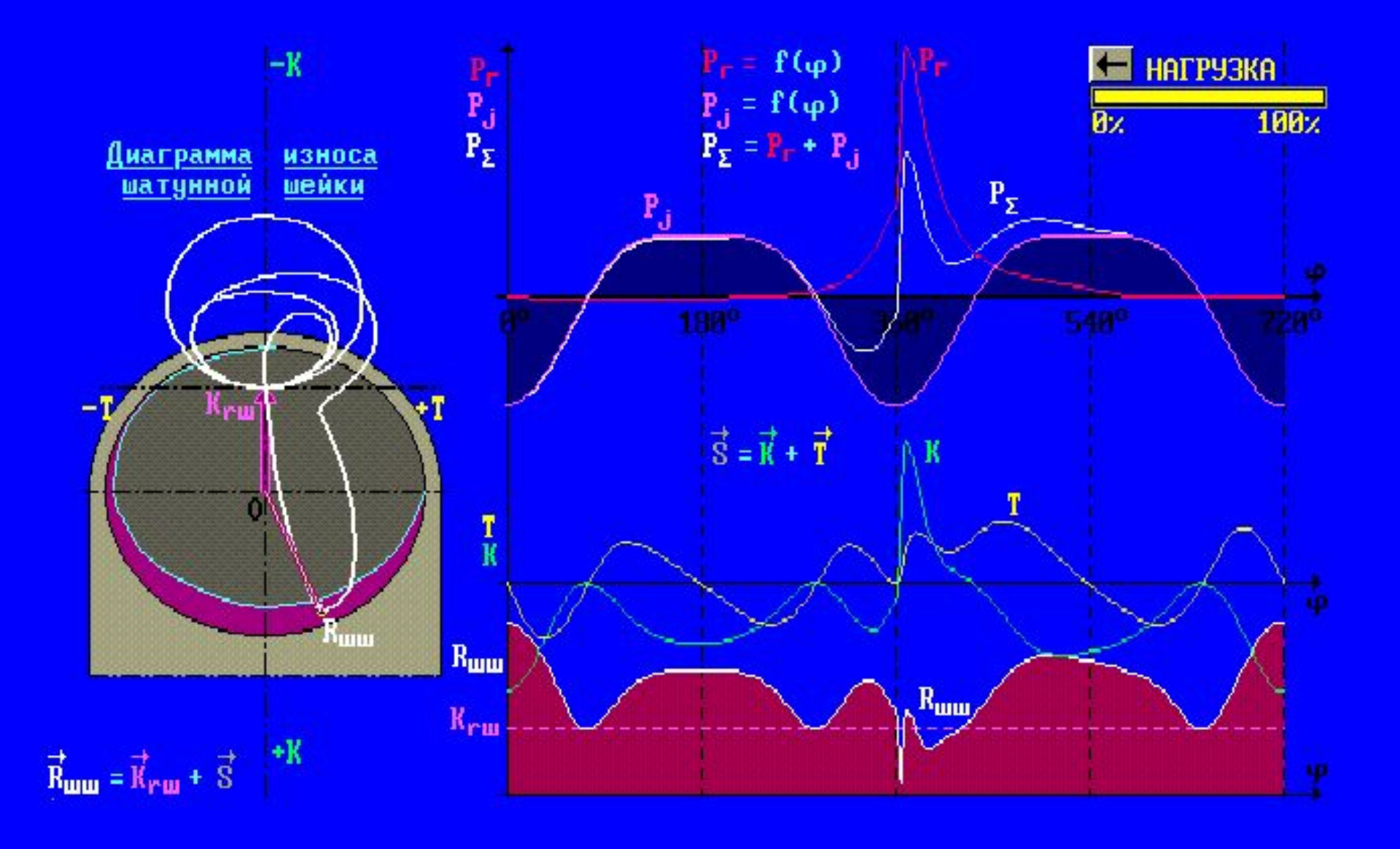


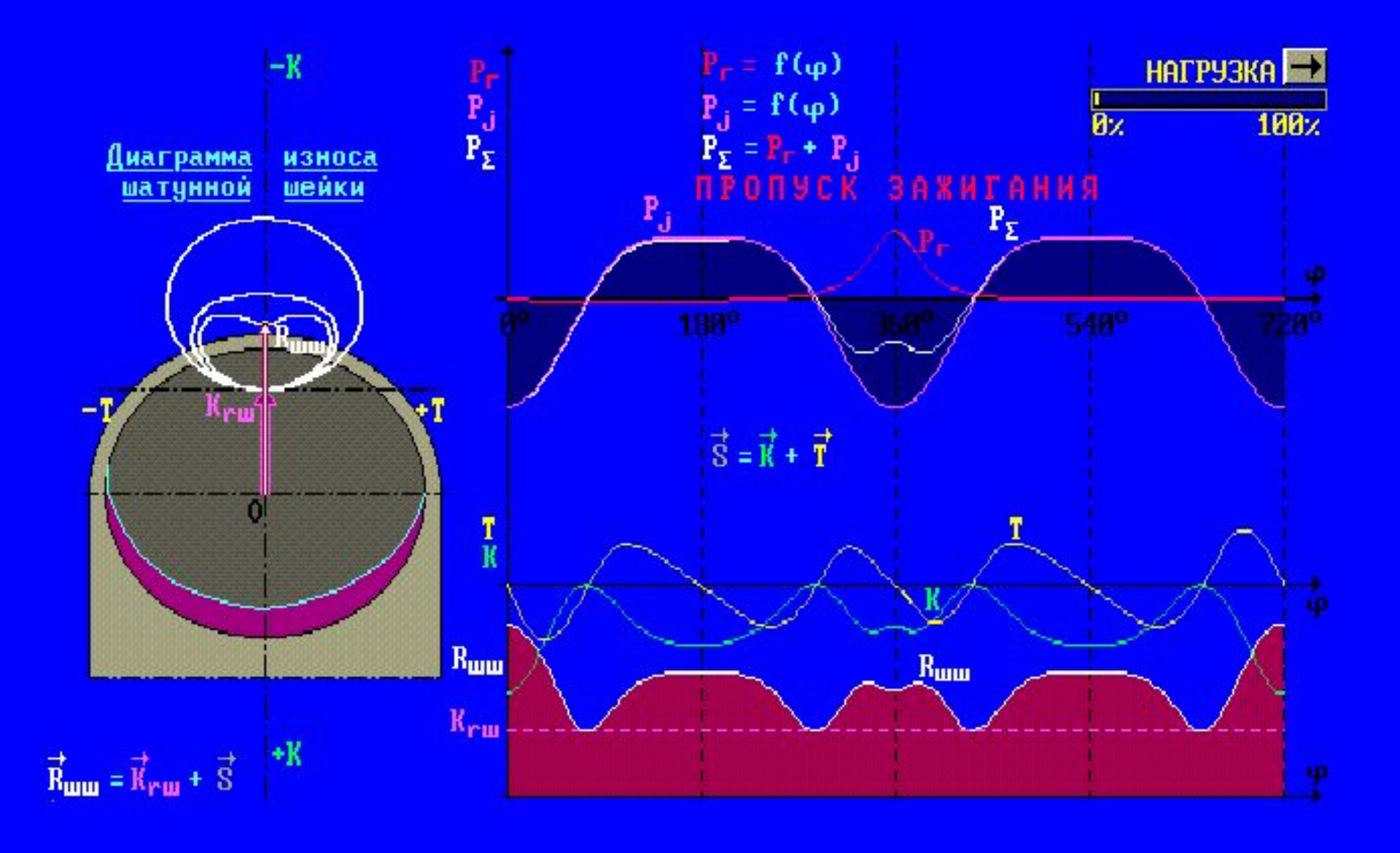


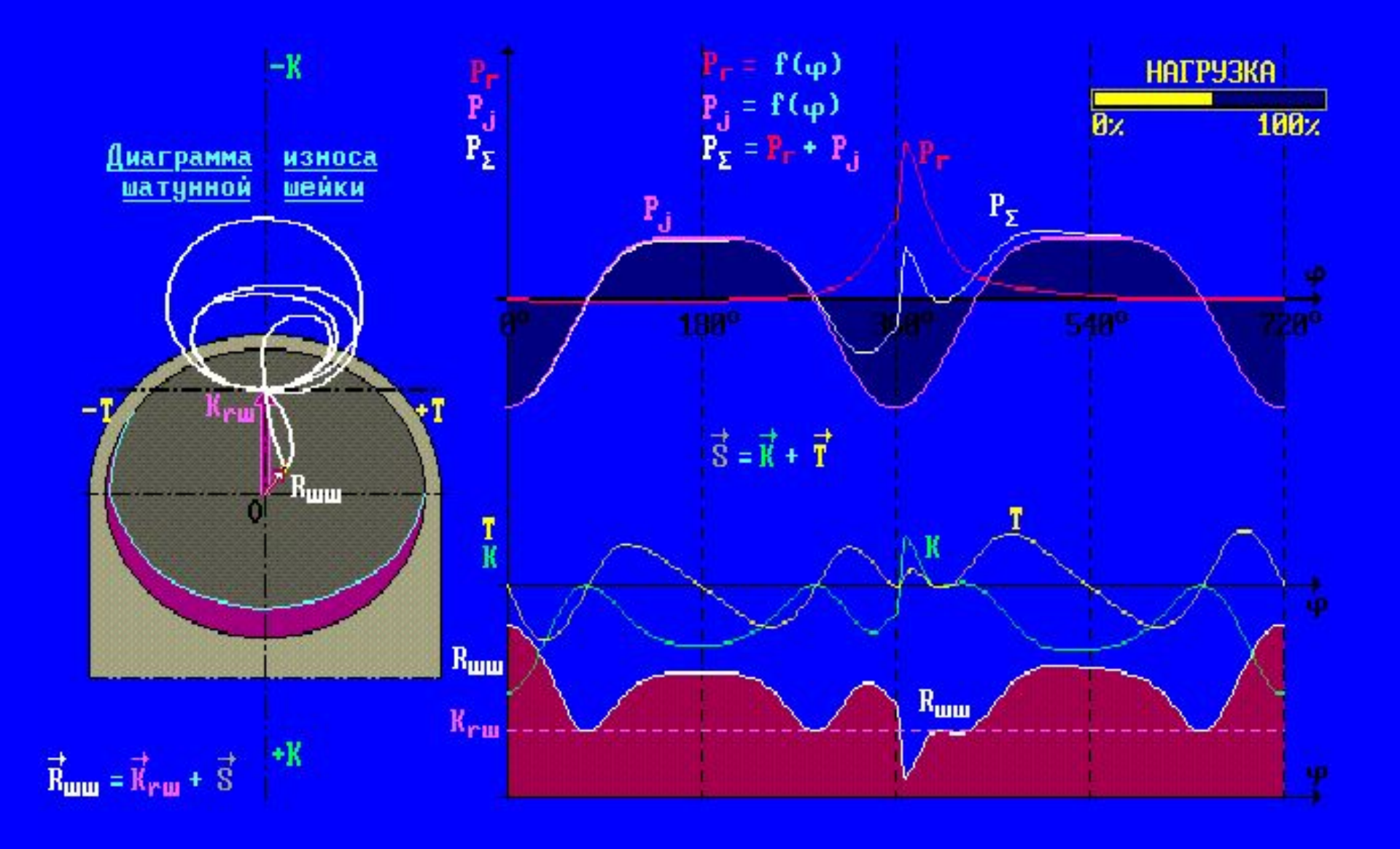




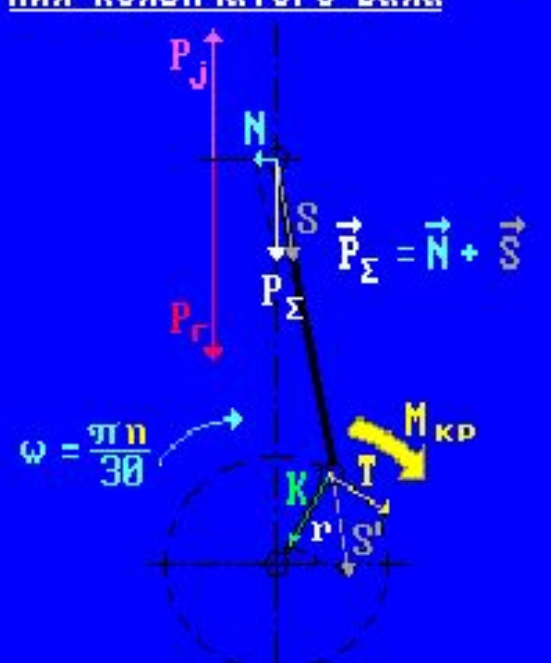




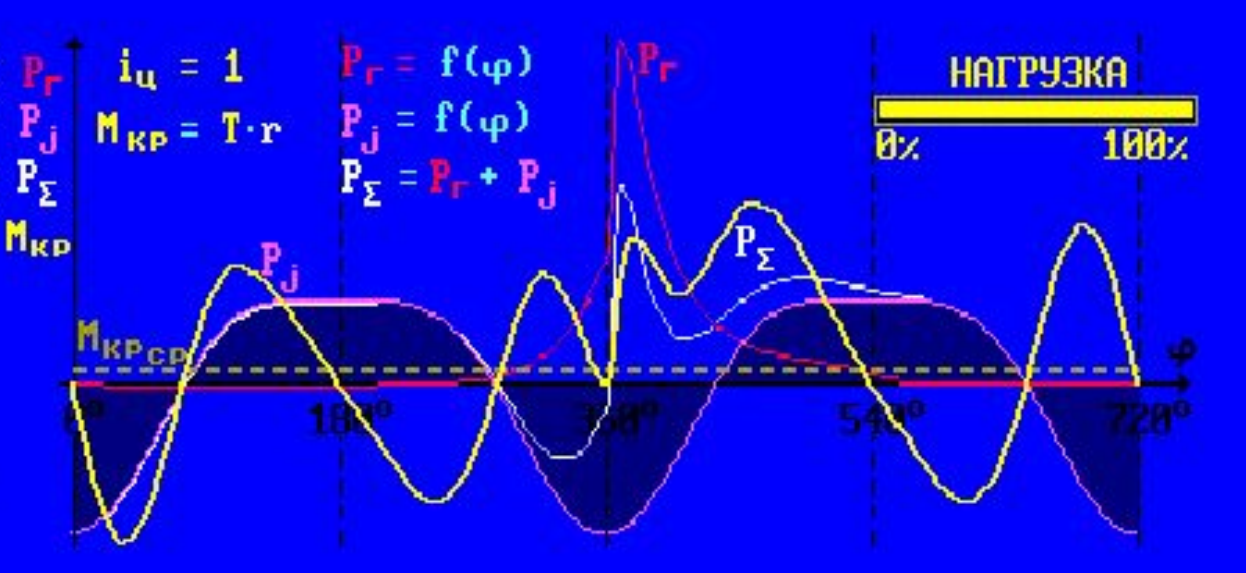




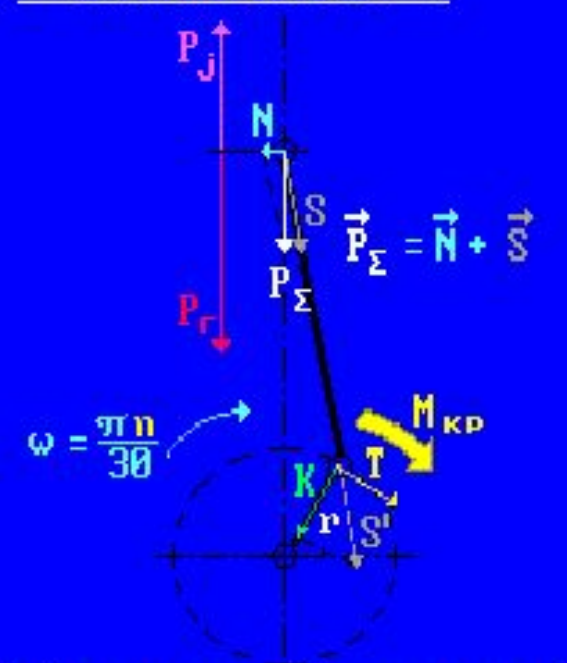
Влияние изменения индикаторной диаграммы на динамические нагрузки в КШМ при заданной частоте врания коленчатого вала



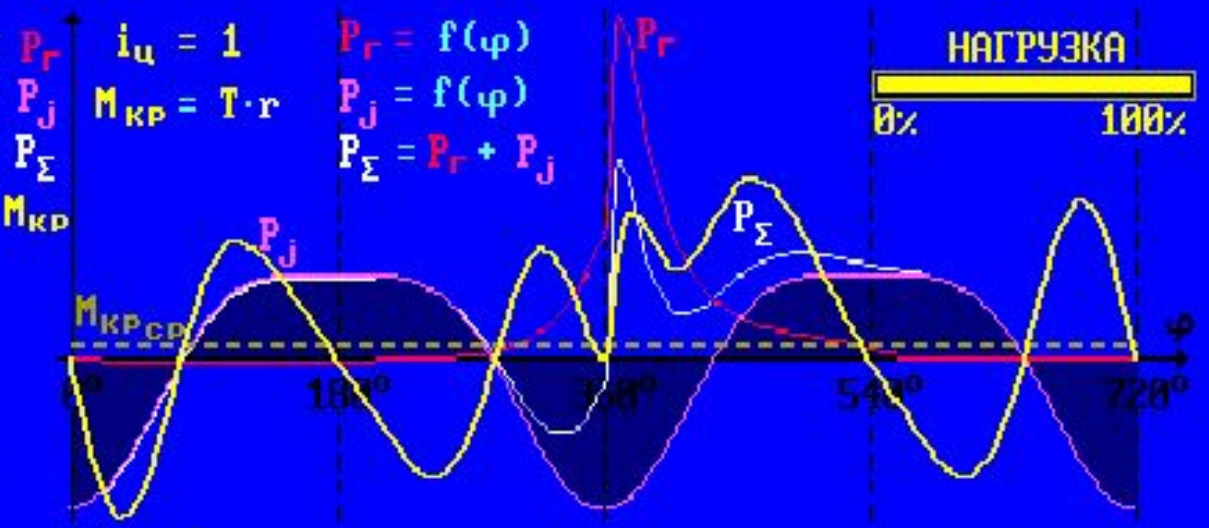
Действие силы S на кривошип: сила K сжимает-растягивает кривошип, а сила T создает крутящий момент $M_{\mathbf{KP}} = T \cdot \mathbf{r}$.



Влияние изменения индикаторной диаграммы на динамические нагрузки в КШМ при заданной частоте врания коленчатого вала



Действие силы S на кривошип: сила K сжимает-растягивает кривошип, а сила T создает крутящий момент $M_{\mathbf{KP}} = T \cdot \mathbf{r}$.



Суммарный момент, передаваемый двигателем потребителю для любого угла поворота кривошипа коленчатого вала ф равен

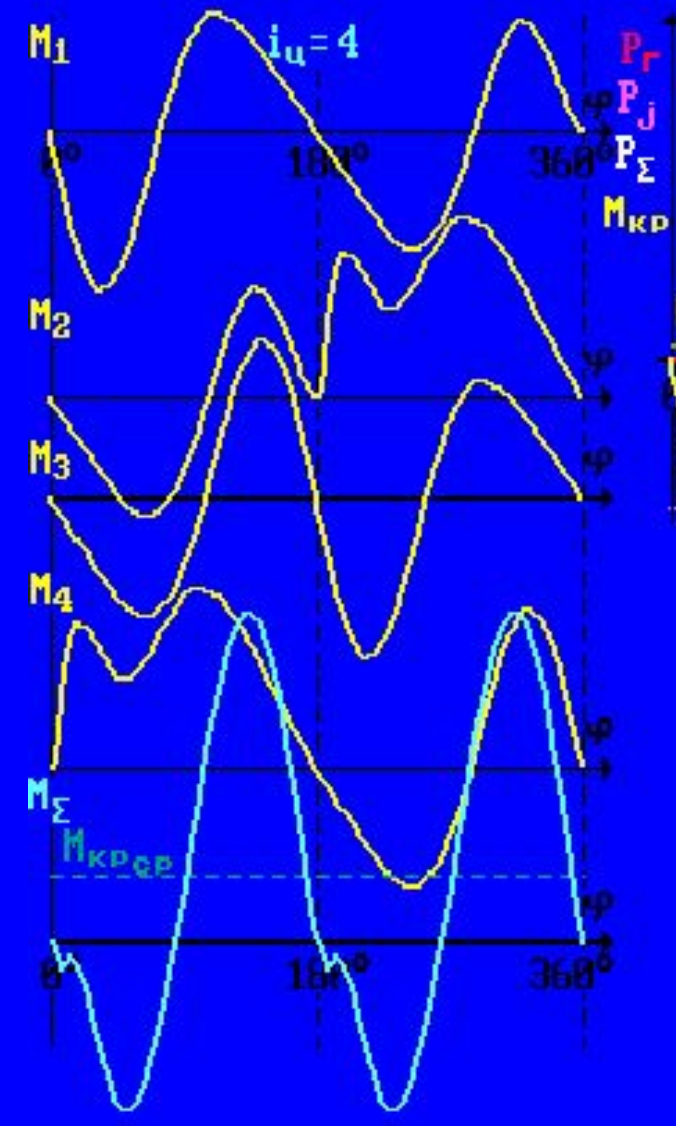
$$M_{\Sigma}(\varphi) = \sum_{k=1}^{k=i_{\mathbf{H}}} M_{k}(\varphi)$$

іц- число цилиндров;

M_k- крутящий момент k-го цилиндра.

Для четырехцилиндрового двигателя с порядком работы 1 - 3 - 4 - 2:

$$M_{\Sigma}(\varphi) = \sum_{k=1}^{k=4} M_k(\varphi)$$



$$i_{\mathbf{u}} = \mathbf{1} \qquad P_{\mathbf{r}} = \mathbf{f}(\varphi) \qquad \text{HALPARA}$$

$$M_{\mathbf{KP}} = \mathbf{T} \cdot \mathbf{r} \qquad P_{\mathbf{j}} = \mathbf{f}(\varphi) \qquad \text{Min}$$

$$P_{\Sigma} = P_{\mathbf{r}} + P_{\mathbf{j}}$$

$$M_{\mathbf{KP} \in \mathcal{D}}$$

Суммарный момент, передаваемый двигателем потребителю для любого угла поворота кривошипа коленчатого вала ф равен

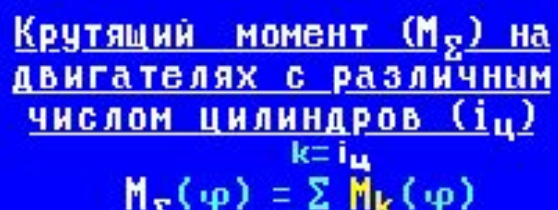
$$M_{\Sigma}(\varphi) = \sum_{k=1}^{k=i_{\mathbf{H}}} M_{k}(\varphi)$$

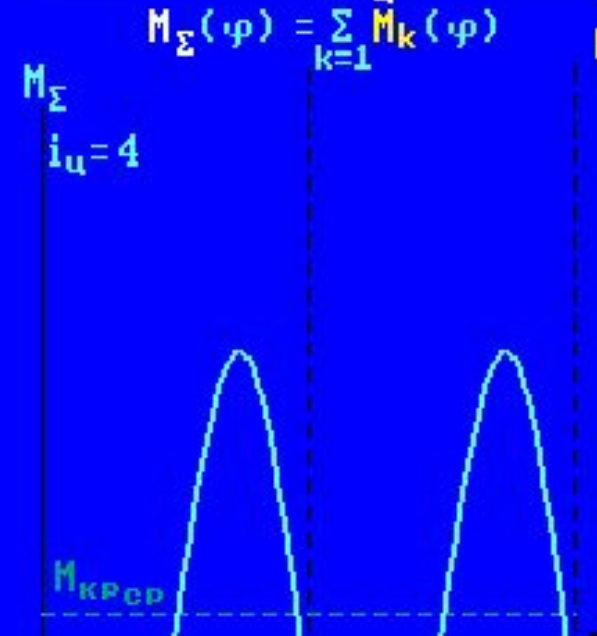
іц- число цилиндров;

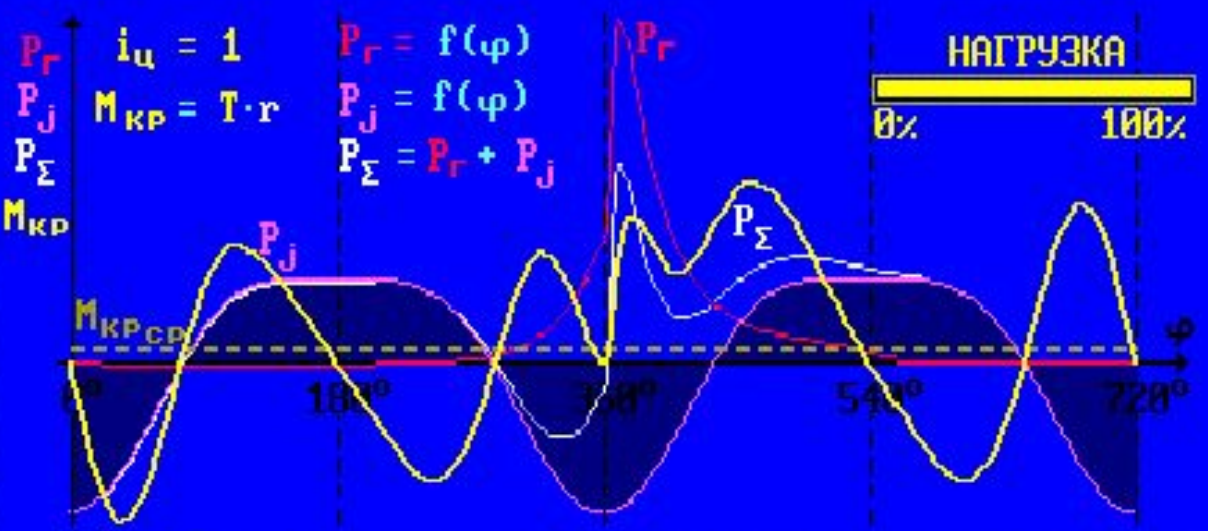
M_k- крутящий момент k-го цилиндра.

Для четырехцилиндрового двигателя с порядком работы 1 - 3 - 4 - 2:

$$\mathsf{M}_{\Sigma}(\varphi) = \sum_{k=1}^{k=4} \mathsf{M}_{k}(\varphi)$$







Суммарный момент, передаваемый двигателем потребителю для любого угла поворота кривошипа коленчатого вала ф равен

$$M_{\Sigma}(\varphi) = \sum_{k=1}^{k=i_{\mathbf{H}}} M_{k}(\varphi)$$

іц- число цилиндров;

М_к− крутящий момент k−го цилиндра.

Для четырехцилиндрового двигателя с порядком работы 1 – 3 – 4 – 2:

$$M_{\Sigma}(\varphi) = \sum_{k=1}^{k=4} M_k(\varphi)$$

